



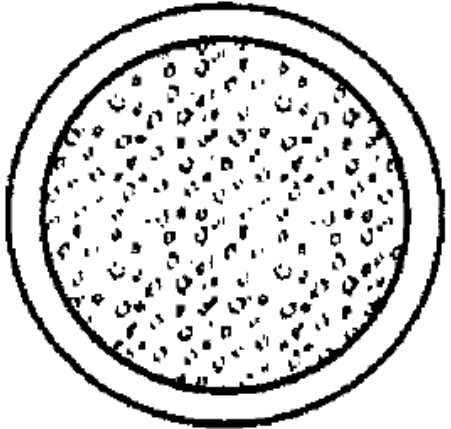
انجمن ایرانی
مهندسان محاسب ساختمان

ستون های مرکب CFT

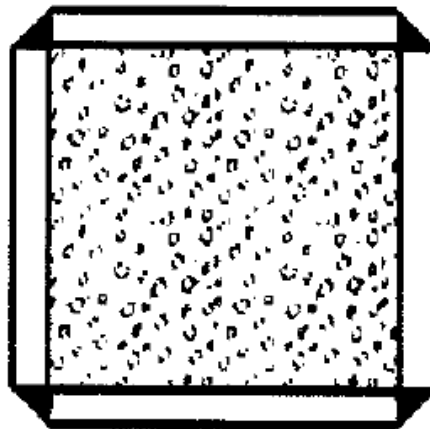
(Concrete Filled Tube)

صد م آغاز اد
ب بهمن ماه ۱۳۹۵

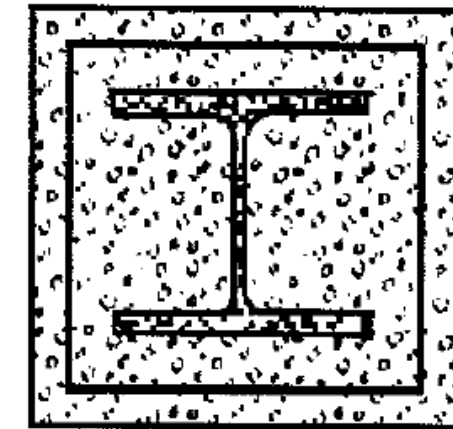
Concrete Filled Tube (CFT)



(ب) عضو محوری مختلط لوله
پرشده با بتن



(ب) عضو محوری مختلط قوطی
شكل پرشده با بتن



(الف) عضو محوری مختلط
محاط در بتن

Steel Reinforced
Concrete (SRC)

۲-۱-۸-۲-۱۰ محدودیت‌های مصالح در اعضای با مقطع مختلط

بتن، میلگرد و مقاطع فولادی اعضای با مقطع مختلط باید دارای شرایط زیر باشند. مگر آنکه استفاده از مصالح با شرایط مغایر با شرایط زیر توسط آزمایش یا تحلیل توجیه شده باشد.

۱. مقاومت فشاری مشخصه نمونه استوانه‌ای بتن (f_c) برای بتن‌های با وزن مخصوص معمولی نباید از 20 MPa کمتر و از 70 MPa بیشتر و برای بتن‌های سبک نباید از 20 MPa کمتر و از 40 MPa بیشتر باشد. مصالح بتن پر مقاومت را می‌توان برای محاسبات مربوط به سختی اعضا مورد استفاده قرار داد، لیکن برای محاسبات مقاومت اسمی اعضای با مقطع مختلط نمی‌توان به آن تکیه کرد، مگر این‌که نتایج آزمایش یا تحلیل استفاده از آن را توجیه نماید.

۲. تنش تسلیم میلگردها و مقاطع فولادی اعضای با مقطع مختلط نباید از 500 MPa تجاوز نماید.

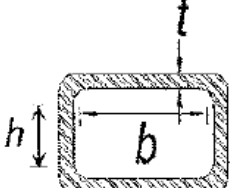
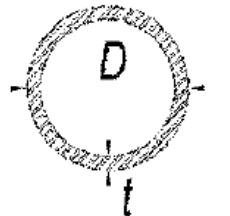
۱۰-۳-۲-۲-۸ اعضای محوری با مقطع مختلط پرشده با بتن

الف) محدودیت‌ها

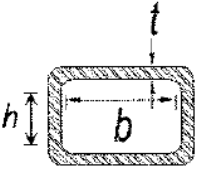
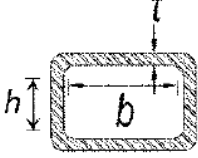
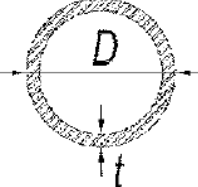
اعضای محوری با مقطع مختلط پرشده با بتن باید محدودیت‌های زیر را برآورده نمایند.

۱. مساحت مقطع فولادی باید حداقل یک درصد مساحت کلی مقطع مختلط باشد.
۲. نسبت پهنا به ضخامت در اجزای مقطع فولادی باید مطابق با الزامات بند ۱۰-۲-۸-۳ تعیین شود.

جدول ۱-۸-۲+ نسبت پهنا به ضخامت اجزای مقطع مختلف پر شده با بتن در اعضای تحت اثر فشار محوری

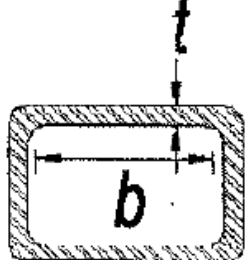
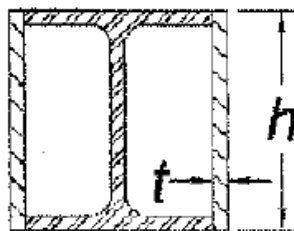
ردیف	شرح اجزا	نسبت پهنا به ضخامت	حداکثر نسبت پهنا به ضخامت		حداکثر نسبت مجاز	مقاطع فولادی نمونه
			λ_r (لاگر/غیرفسرده)	λ_p (غیرفسرده/فسرده)		
۱	بالها و جان‌های مقاطع توخالی مستطیلی نورد شده و جعبه‌ای با ضخامت یکنواخت	b/t	$5 \sqrt{\frac{E}{F_Y}}$	$2 \sqrt{\frac{E}{F_Y}}$	$2/26 \sqrt{\frac{E}{F_Y}}$	
۲	مقاطع توخالی دایره‌ای شکل	D/t	$0.15 \frac{E}{F_Y}$	$0.19 \frac{E}{F_Y}$	$0.131 \frac{E}{F_Y}$	

جدول ۱۰-۲-۸-۲ نسبت های پهنا به ضخامت اجزای مقطع مختلط پر شده با بتن در اعضای تحت اثر خمش

ردیف	شرح اجزا	نسبت پهنا به ضخامت	حداکثر نسبت پهنا به ضخامت		حداکثر نسبت مجاز	مقاطع فولادی نمونه
			λ_r (لاگر/غیرفسرده)	λ_p (غیرفسرده/فسرده)		
۱	بال های مقاطع توخالی مستطیلی نورد شده و مقاطع جعبه ای با ضخامت یکنواخت	b/t	$3 \sqrt{\frac{E}{F_Y}}$	$2/26 \sqrt{\frac{E}{F_Y}}$	$5 \sqrt{\frac{E}{F_Y}}$	
۲	جان های مقاطع توخالی مستطیلی نورد شده و مقاطع جعبه ای با ضخامت یکنواخت	h/t	$3 \sqrt{\frac{E}{F_Y}}$	$5/V \sqrt{\frac{E}{F_Y}}$	$5/V \sqrt{\frac{E}{F_Y}}$	
۳	مقاطع توخالی دایره ای شکل	D/t	$0.09 \frac{E}{F_Y}$	$0.31 \frac{E}{F_Y}$	$0.31 \frac{E}{F_Y}$	

جدول ۱۰-۳-۴-۱ محدودیت نسبت پهنا به ضخامت در اجزای فشاری اعضای با شکل پذیری متوسط و زیاد

مثال‌های نمونه	حداکثر نسبت پهنا به ضخامت		نسبت پهنا به ضخامت	شرح اجزا	نر
	λ_{hd} اعضای با شکل پذیری زیاد	λ_{md} اعضای با شکل پذیری متوسط			
	$1/4 \sqrt{\frac{E}{F_y}}$	$2/26 \sqrt{\frac{E}{F_y}}$	b/t	بال‌ها و جان‌های مقاطع قوطی‌شکل پرشده با بتن	۹
	$0.1076 \frac{E}{F_y}$	$0.115 \frac{E}{F_y}$	D/t	جدارهای مقاطع توخالی دایره‌ای شکل پرشده با بتن	۱۰

  	$\cdot 155 \sqrt{\frac{E}{F_y}}$ [۲]	$\cdot 164 \sqrt{\frac{E}{F_y}}$ [۳]	b/t d/t	<p>بالهای متقاطع توخالی مستطیلی شکل (HSS)</p> <p>بالهای مقاطع قوطی شکل ساخته شده از ورق</p> <p>ورق های کاری مقاطع I شکل قطیع شده وقتی به عنوان مهاربند به کار می رود.</p>	۴
--	--	--	--------------------	---	--

Moments of Inertia - Composite Columns

SRC new effective stiffness:

$$EI_{eff} = E_s I_s + \cancel{0.5} E_s I_{sr} + C_1 E_c I_c$$

$$C_1 = 0.1 + 2 [A_s / (A_c + A_s)] \leq 0.3$$

(concrete effectiveness factor)

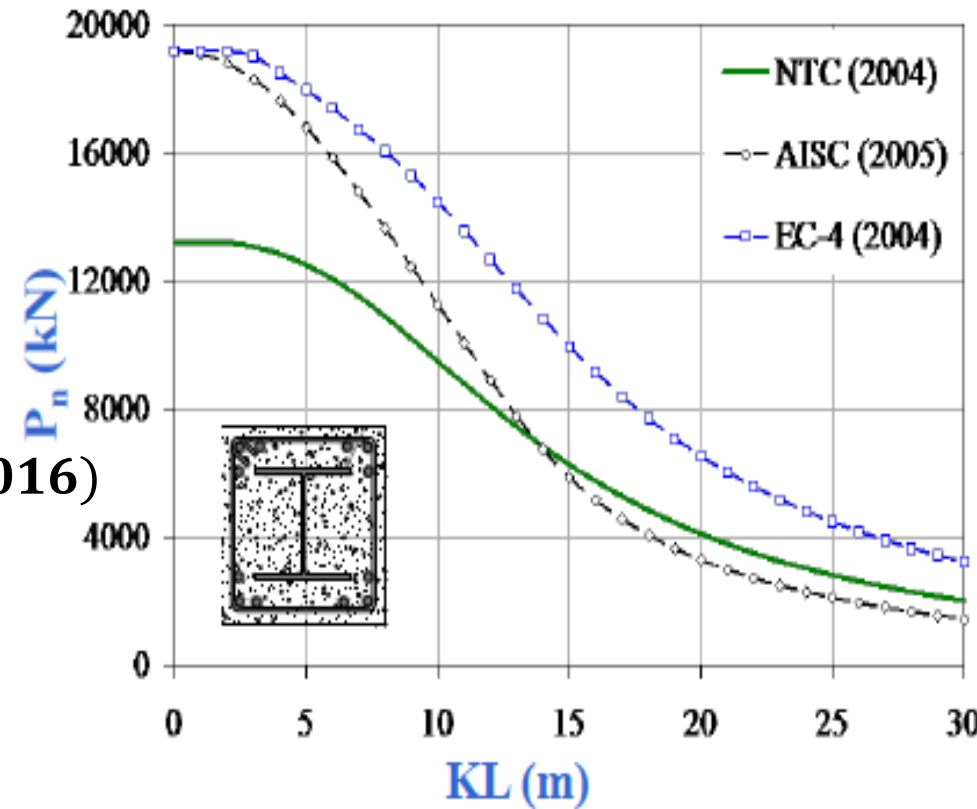
$$C_1 = 0.25 + 3 \left\{ \frac{As + Asr}{Ag} \right\} \leq 0.7 \text{ (AISC 2016)}$$

CFT new effective stiffness:

$$EI_{eff} = E_s I_s + E_s I_{sr} + C_3 E_c I_c$$

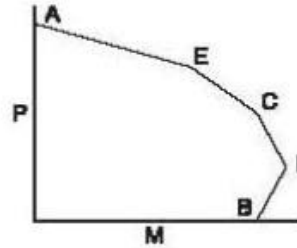
$$C_3 = 0.6 + 2 [A_s / (A_c + A_s)] \leq 0.9$$

(concrete effectiveness factor)

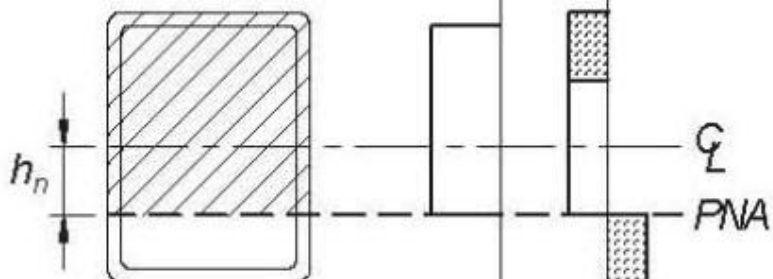


$$C_3 = 0.45 + 3 \left\{ \frac{As + Asr}{Ag} \right\} \leq 0.9 \text{ (AISC 2016)}$$

Plastic Capacities for Composite Filled HSS Bent About Either Principal Axis



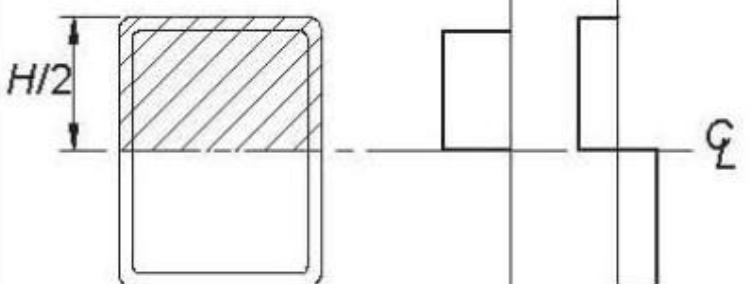
Section	Stress Distribution	Pt.	Defining Equations
		A	$P_A = F_y A_s + 0.85f'_c A_c$ $M_A = 0$ $A_s = \text{area of steel shape}$ $A_c = b_i h_i - 0.858 r_i^2$ $b_i = B - 2t$ $h_i = H - 2t$ $r_i = t$
		E	$P_E = \frac{0.85f'_c A_c}{2} + 0.85f'_c b_i h_E + 4F_y t h_E$ $M_E = M_D - F_y Z_{sE} - \frac{0.85f'_c Z_{cE}}{2}$ $Z_{cE} = b_i h_E^2$ $Z_{sE} = 2t h_E^2$ $h_E = \frac{h_n}{2} + \frac{H}{4}$



C

$$P_C = 0.85f'_c A_c$$

$$M_C = M_B$$



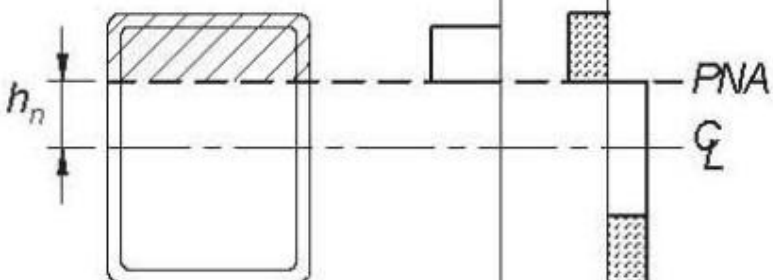
D

$$P_D = \frac{0.85f'_c A_c}{2}$$

$$M_D = F_y Z_s + \frac{0.85f'_c Z_c}{2}$$

Z_s = full x-axis plastic section modulus of HSS

$$Z_c = \frac{b_i h_i^2}{4} - 0.192 r_i^3$$



B

$$P_B = 0$$

$$M_B = M_D - F_y Z_{sn} - \frac{0.85f'_c Z_{cn}}{2}$$

$$Z_{sn} = 2t h_n^2$$

$$Z_{cn} = b_i h_n^2$$

$$h_n = \frac{0.85f'_c A_c}{2[0.85f'_c b_i + 4t F_y]} \leq \frac{h_i}{2}$$

Note: Equations in this table are equally applicable to bending about the shape's X-X axis (when $H \geq B$) and to bending about the shape's Y-Y axis (when $B > H$).

پ) هنگامی که انتقال برش در اعضای با مقطع پرشده با بتن از طریق اندرکنش پیوستگی مستقیم به فولاد و بتن صورت می‌گیرد، مقاومت طراحی پیوستگی بین فولاد و بتن مساوی ϕR_n می‌باشد که در آن ϕ ضریب کاهش مقاومت پیوند برابر ۰/۴۵ و R_n مقاومت پیوند اسمی می‌باشد که باید به شرح زیر تعیین شود.

- برای مقاطع فولادی مستطیلی توحالی پر شده با بتن:

$$R_n = B^T C_{in} F_{in} \quad (31-8-2-10)$$

- برای مقاطع فولادی لوله‌ای و پر شده با بتن:

$$R_n = . / 25\pi D^T C_{in} F_{in} \quad (32-8-2-10)$$

در روابط فوق:

$C_{in} = 2$ اگر عضو با مقطع مختلط فقط از یک طرف به محل اثر بار منتهی شود (شرط انتهایی)

$= 4$ اگر عضو با مقطع مختلط از دو طرف به محل اثر بار منتهی شود. (شرط میانی)

$F_{in} = 0/4 \text{ MPa}$ = تنش اسمی پیوستگی و مساوی

$B =$ پهناهی کلی وجهی از مقطع فولادی مستطیلی که انتقال برش از طریق آن صورت می‌گیرد.

$D =$ قطر خارجی مقطع فولادی لوله‌ای شکل

3c. Direct Bond Interaction

Where force is transferred in a filled composite member by direct bond interaction, the available bond strength between the steel and concrete shall be determined as follows:

$$R_n = p_b L_{in} F_{in} \quad (I6-5)$$

$$\phi = 0.50 \text{ (LRFD)} \quad \Omega = 3.00 \text{ (ASD)}$$

where

F_{in} = nominal bond stress, ksi (MPa)

= $12t/H^2 \leq 0.1$, ksi ($2100t/H^2 \leq 0.7$, MPa) for rectangular cross sections

= $30t/D^2 \leq 0.2$, ksi ($5300t/D^2 \leq 1.4$, MPa) for circular cross sections

D = outside diameter of round HSS, in. (mm)

H = maximum transverse dimension of rectangular steel member, in. (mm)

L_{in} = load introduction length, determined in accordance with Section I6.4, in. (mm)

R_n = nominal bond strength, kips (N)

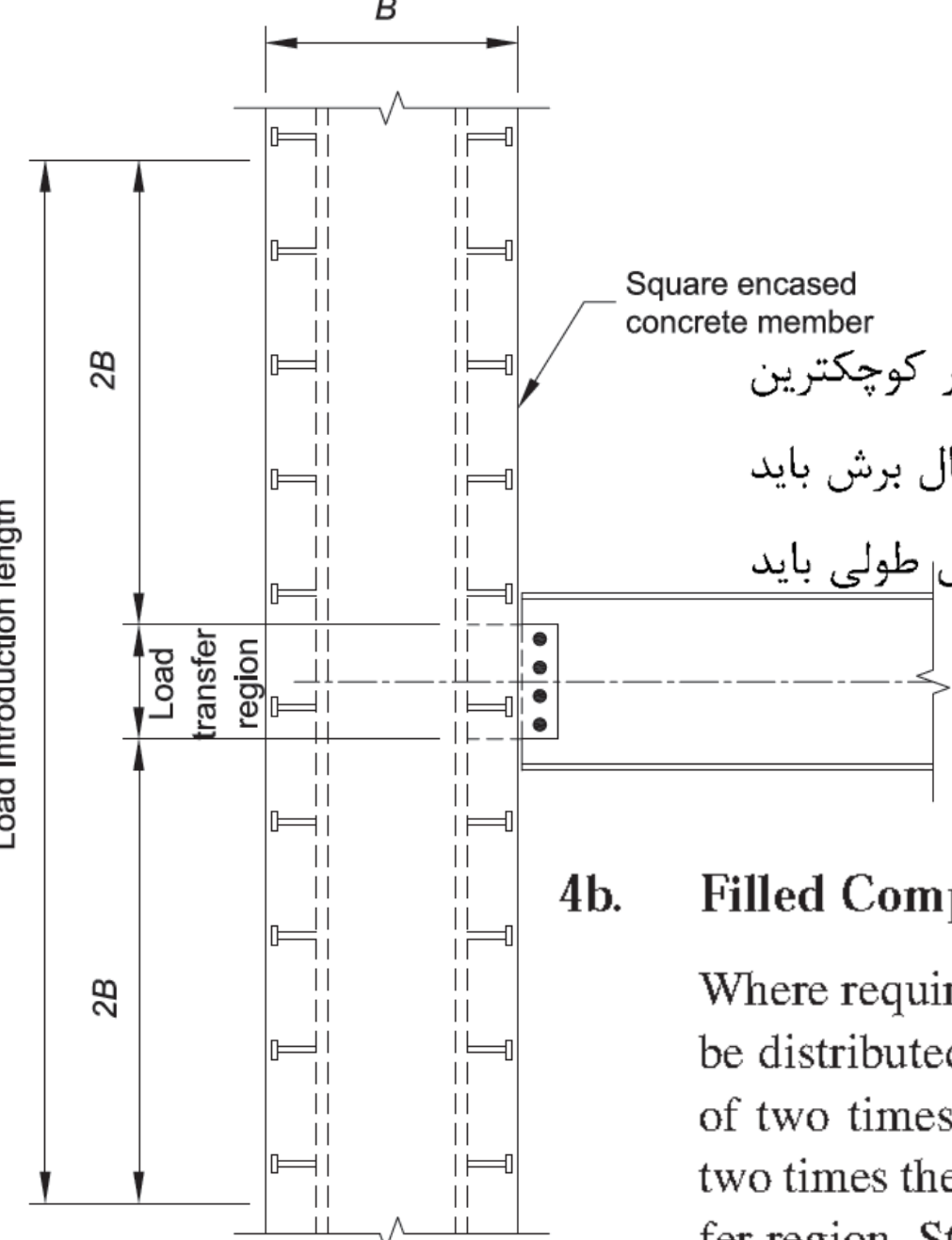
p_b = perimeter of the steel-concrete bond interface within the composite cross section, in. (mm)

t = design wall thickness of HSS member as defined in Section B4.2, in. (mm)

۴-۶-۸-۲-۱۰ جزئیات بندی

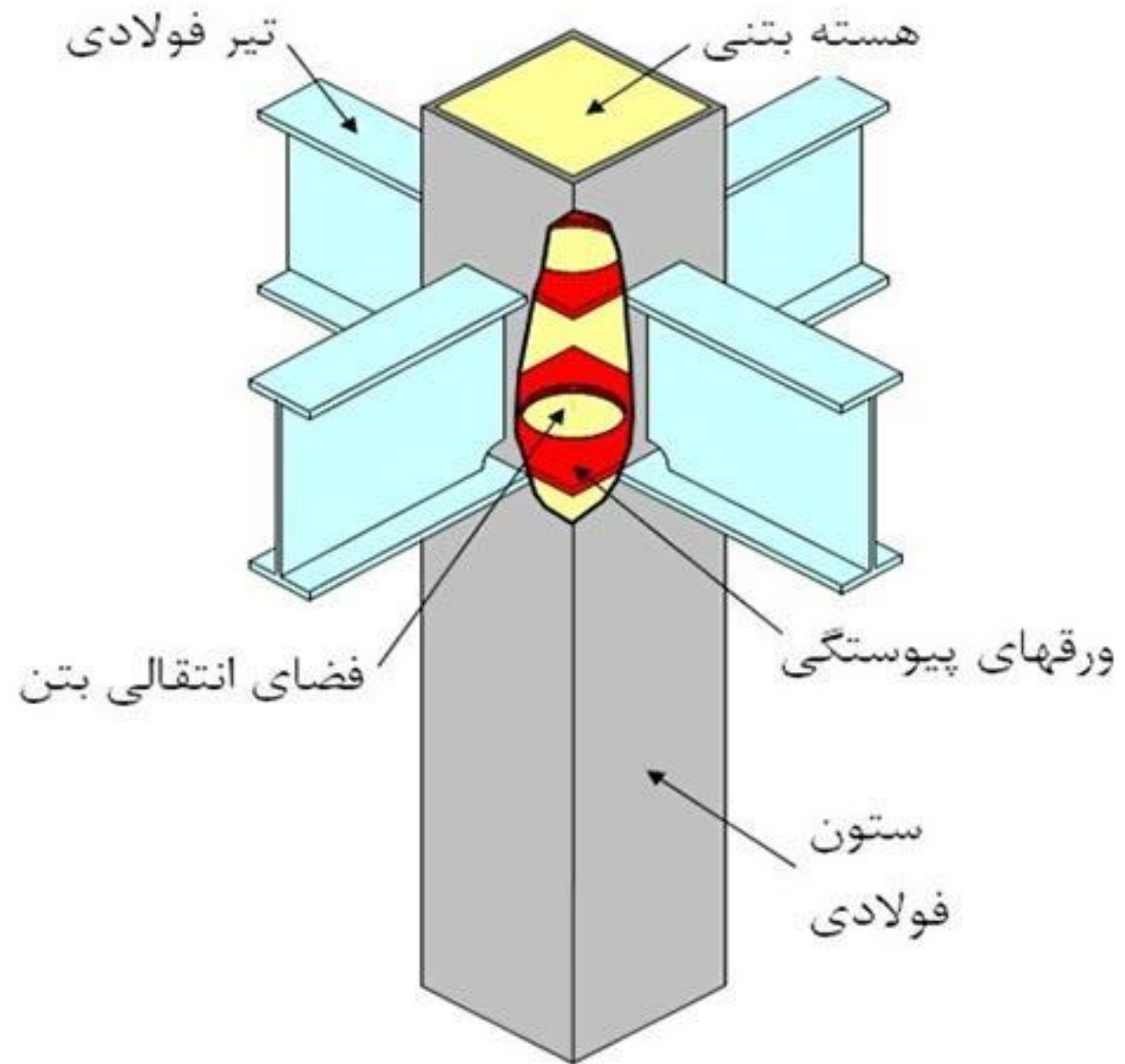
الف) اعضای با مقطع مختلط محاط در بتن

فاصله برشگیرهای تعبیه شده در بالا و پایین ناحیه انتقال برش طولی نباید از دو برابر کوچکترین بعد مقطع مختلط بیشتر باشد. همچنین فاصله برشگیرها در داخل و بیرون ناحیه انتقال برش باید با رعایت الزامات بند ۸-۲-۱۰ صورت گیرد. برشگیرهای تعبیه شده جهت انتقال برش طولی باید حداقل در دو وجهه مقطع فولادی و بصورت قرینه مورد استفاده قرار گیرد.



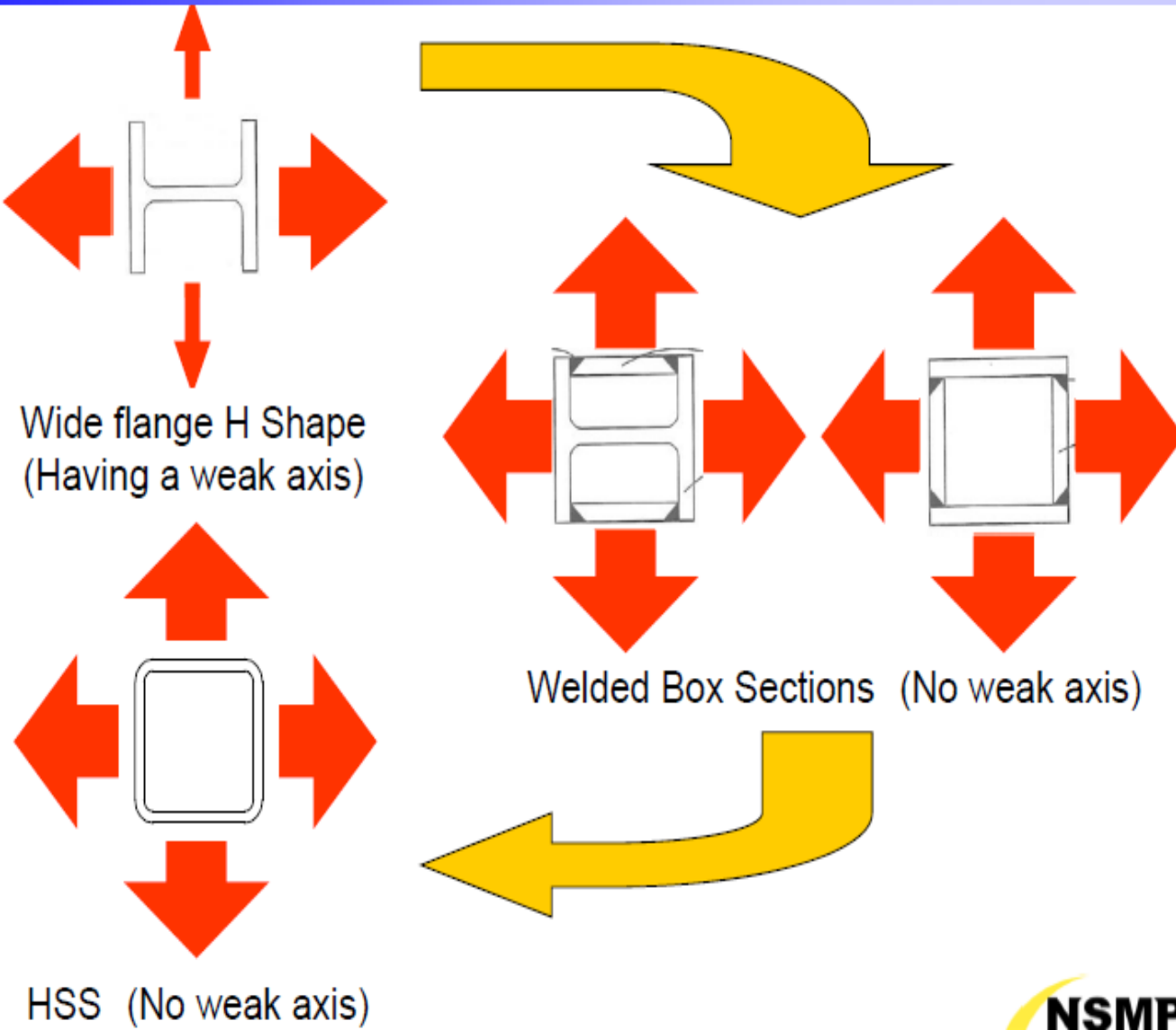
4b. Filled Composite Members

Where required, steel anchors transferring the required longitudinal shear force shall be distributed within the *load introduction length*, which shall not exceed a distance of two times the minimum transverse dimension of a rectangular steel member or two times the diameter of a round steel member both above and below the *load transfer region*. Steel anchor spacing within the load introduction length shall conform to Section I8.3e.



History of Structural Steel for Column in Japan

52



Advantages of HSS vs WFB

1. Open space without brace

⇒ More flexibility for designing

2. Light weight structure

⇒ Less cost including for Civil construction



HSS



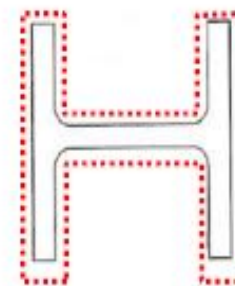
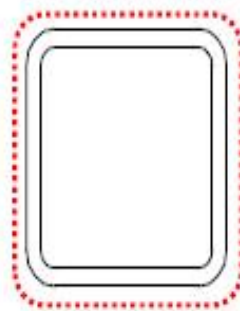
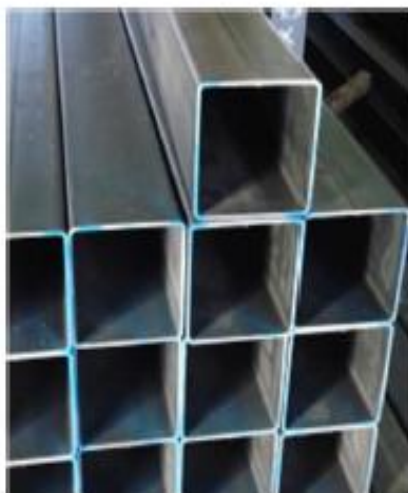
WFB

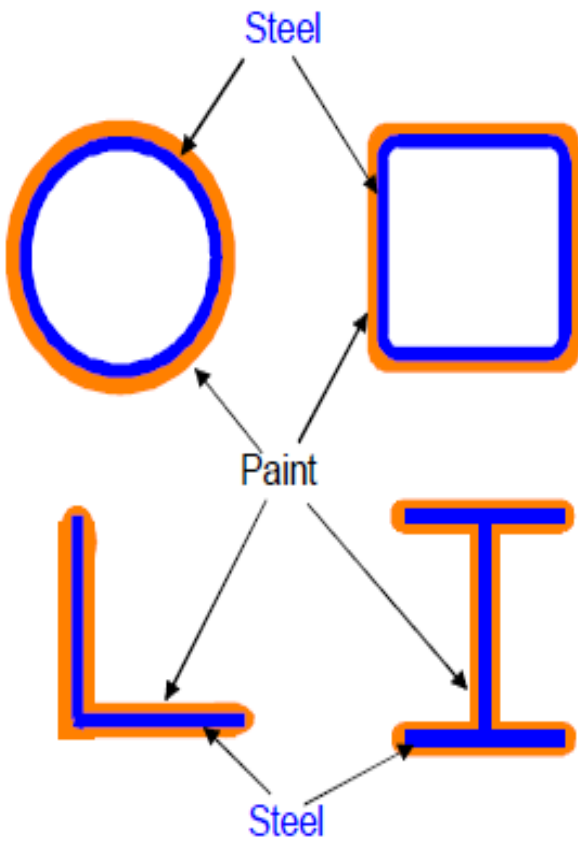
Advantages of HSS vs WFB

3. Less Surface Area

= Less election cost (Painting, Surface treatment)

4. High Anti-seismic performance





Paint surface for hollow sections vs
open sections

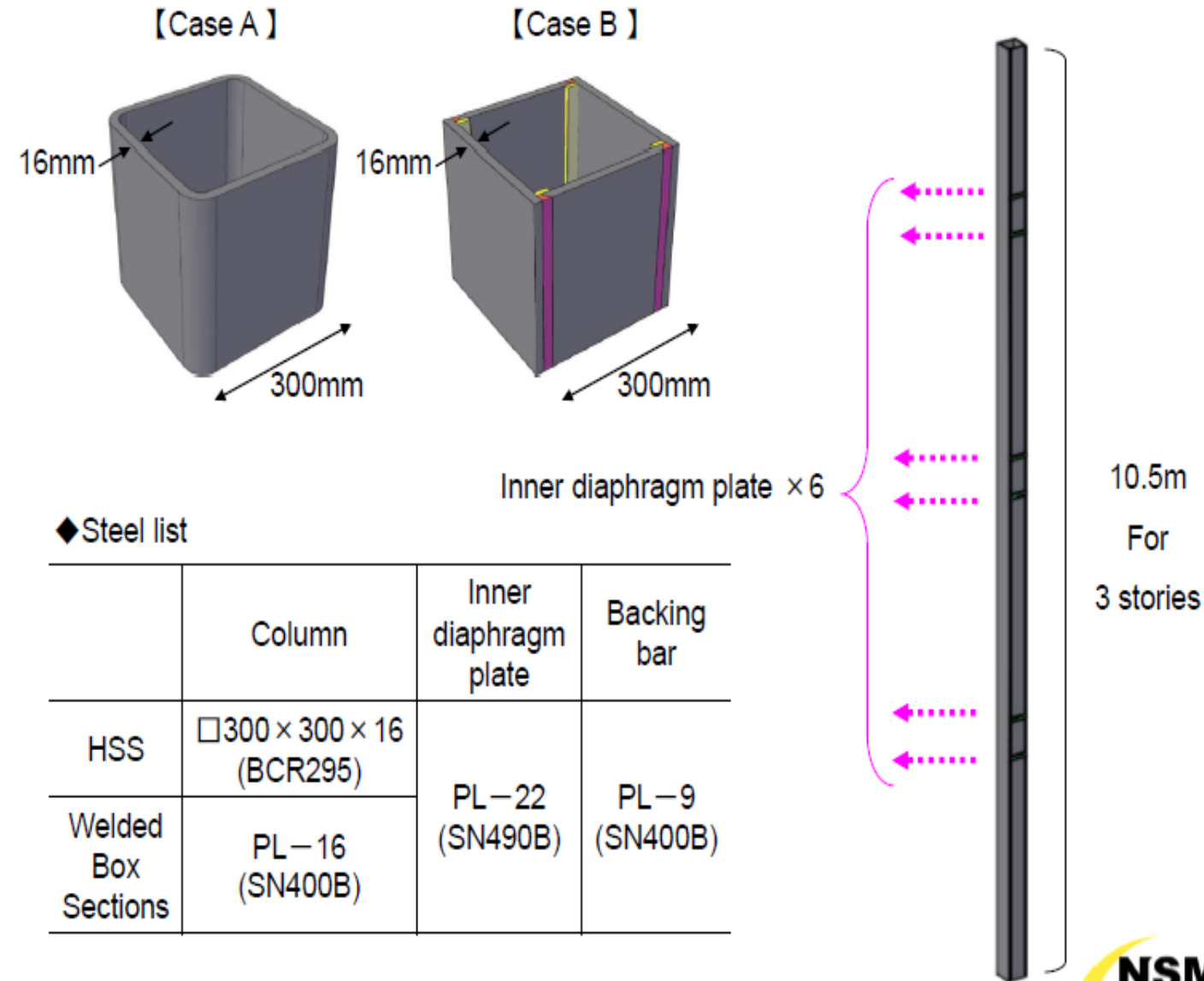
HSS Column vs WFB Column (Weight and Surface Area)

HSS : ASTM A500 GradeB Fy=317N/mm²

H-Shape : ASTMA992 Fy=345N/mm²

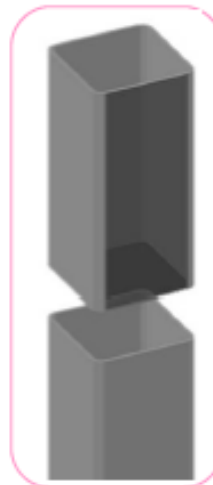
	case-1		case-2	
	HSS	H-shape	HSS	H-shape
	10 × 10 × 1/2	W10 × 77 10-5/8 × 10-1/4	16 × 16 × 1/2	W14 × 145 14-3/4 × 15-1/2
Effective Length	6(m)		9(m)	
Available Strength in Axial Compression	589(KN)	546(KN)	1,020(KN)	1,060(KN)
Nominal Weight (kg/m)	92.9(81%)	115(100%)	164(76%)	216(100%)
Surface Area (m ² /m)	0.89(57%)	1.55(100%)	1.50(66%)	2.29(100%)

The cost comparison between HSS and Welded Box Sections in Japan

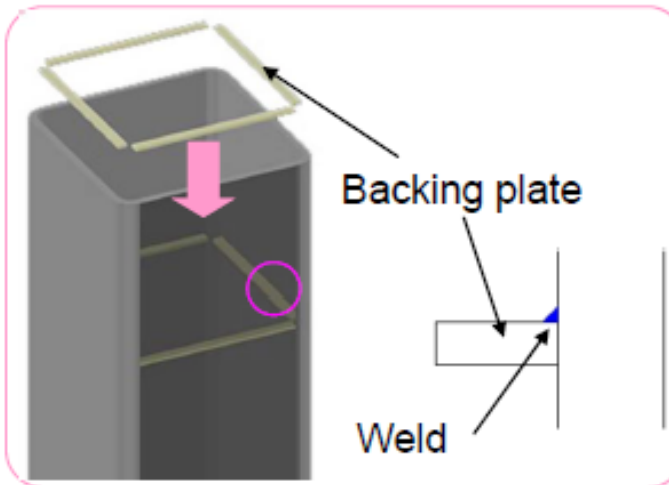


HSS work process

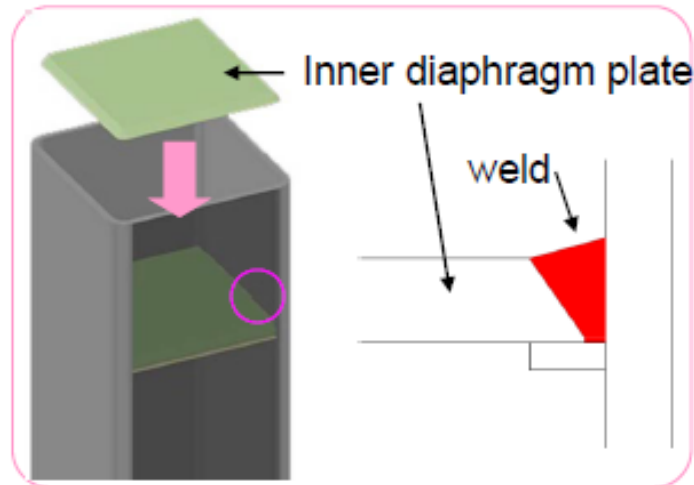
① Cutting



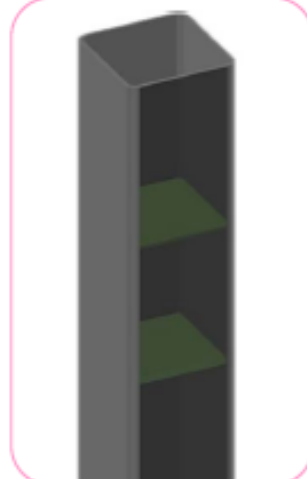
② Welding backing plate



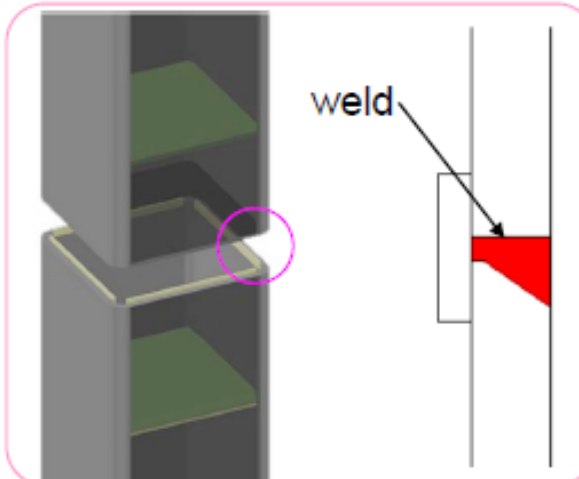
③ Welding Inner diaphragm plate



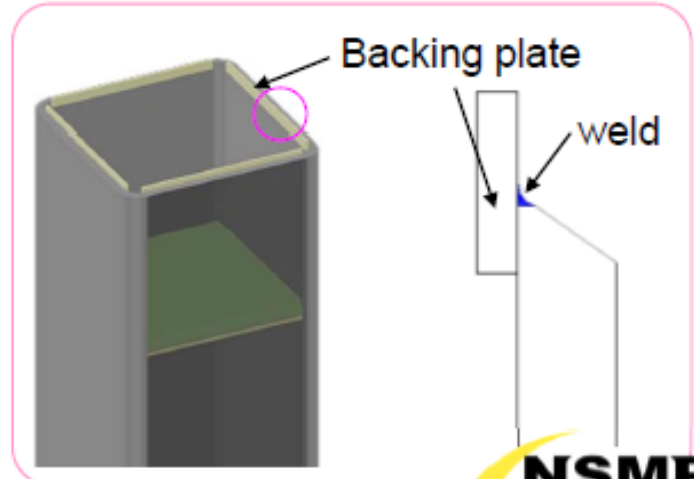
⑥ Finish



⑤ Welding HSS to HSS

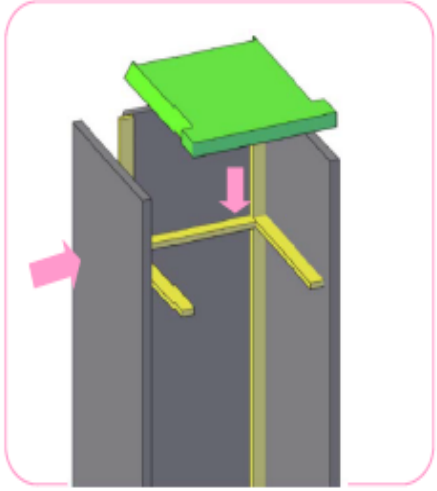


④ Welding backing plate

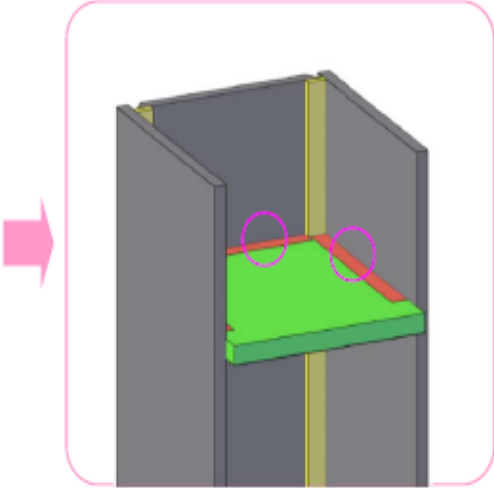


Welded Box Sections work process

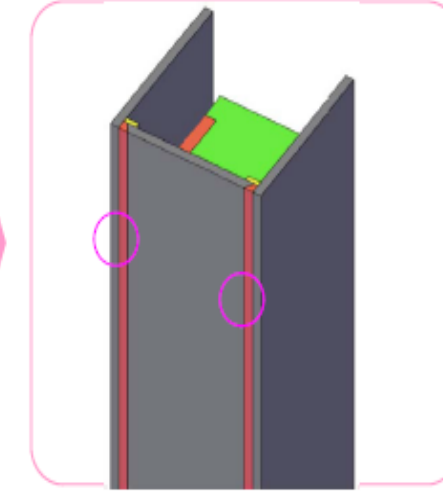
①Assembly



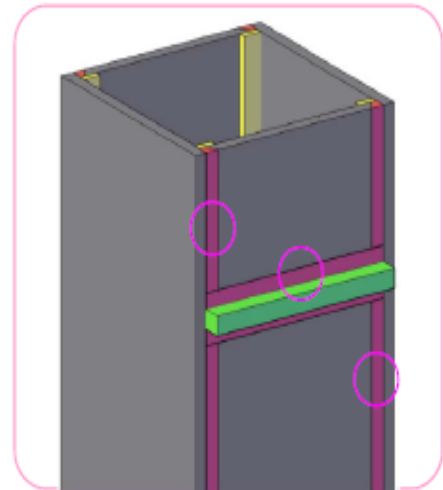
②Welding Inner diaphragm plate



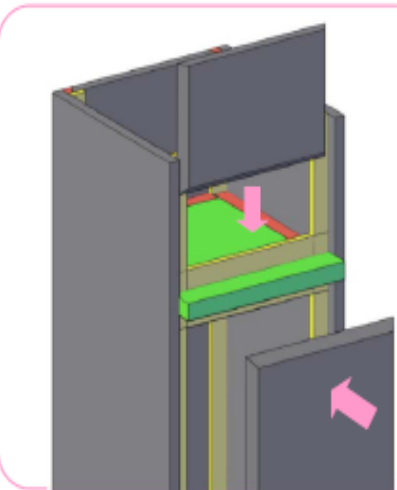
③Welding plate



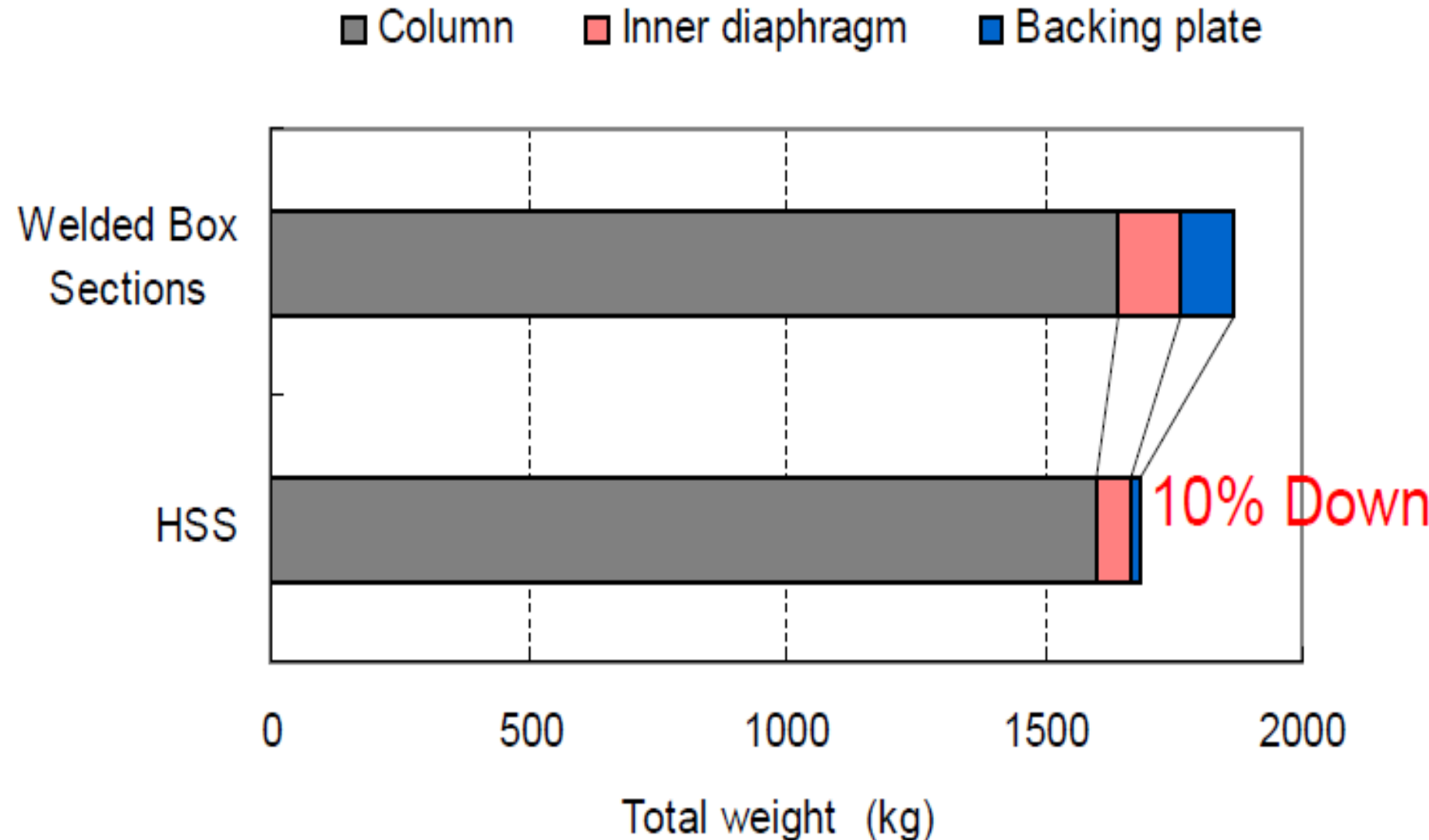
⑤Welding Plate and Finish



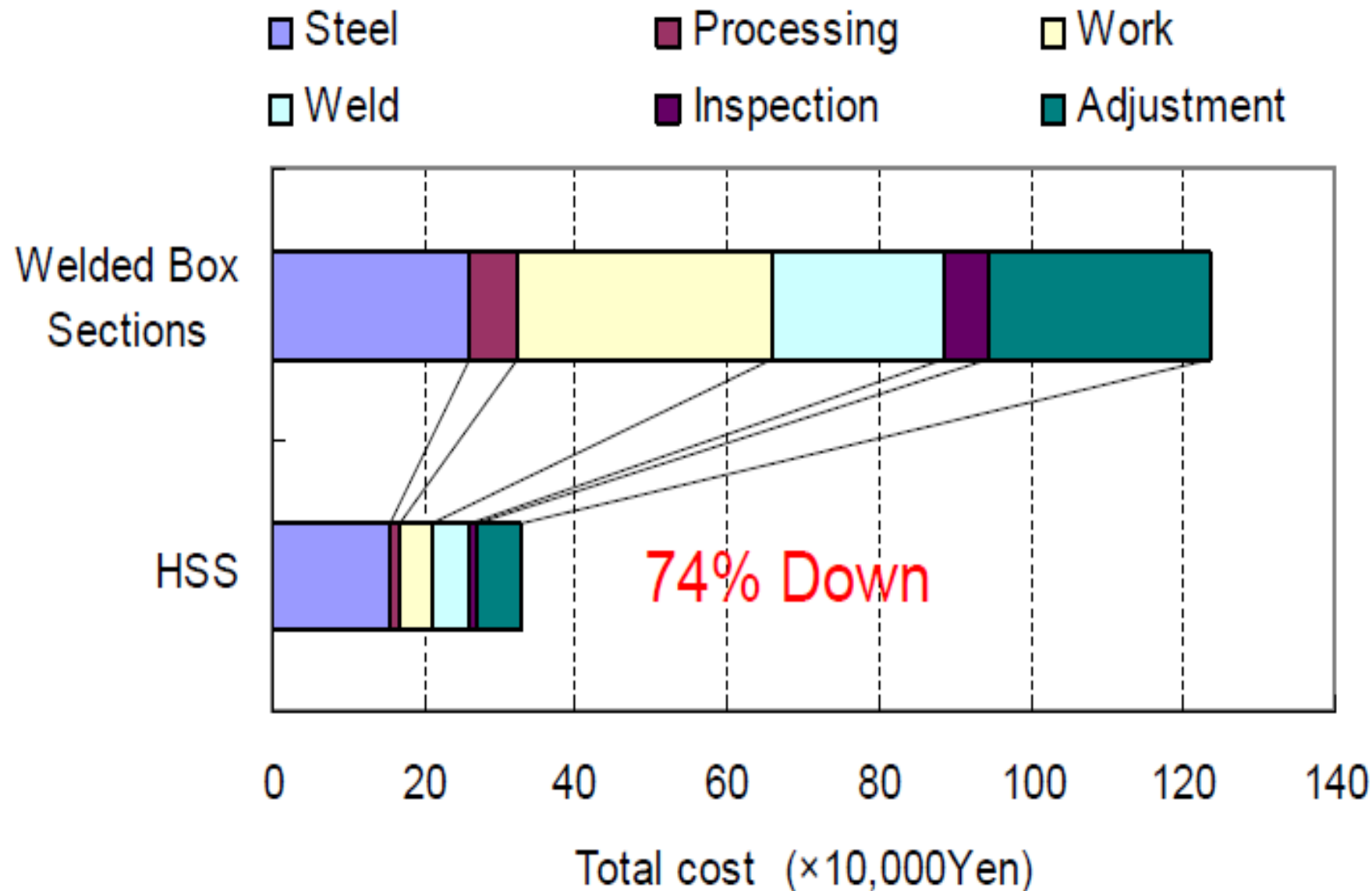
④Assembly (Plate)



Result (Weight)



Result (Cost)



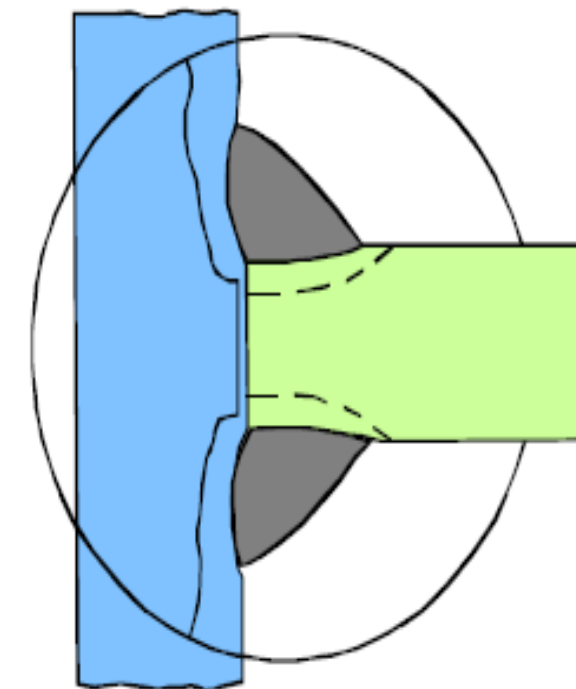
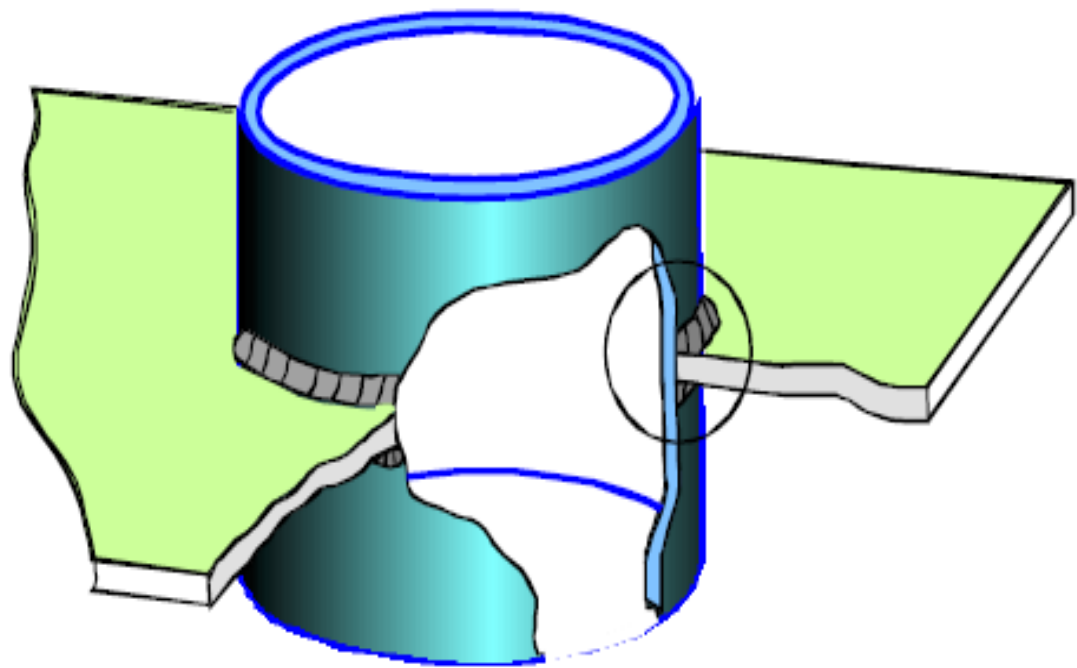


Fig. 2.1 Lamellar tearing

مزایای ستون های CFT

مشکلات ستون های CFT

۱- بتن ریزی داخل مقطع توخالی

۲- افزایش وزن ساختمان

۳- ورق پیوستگی

۴- برشگیر

۱- افزایش مقاومت فشاری

۲- افزایش مقاومت خمشی

۳- افزایش شکل پذیری

۴- افزایش مقاومت در برابر آتش

۵- جلوگیری از کمانش موضعی مقطع

فولادی

۶- افزایش نسبت لنگر خمشی ستون به تیر

هنگام کنترل ستون قوی تیر ضعیف

۷- افزایش سختی ستون

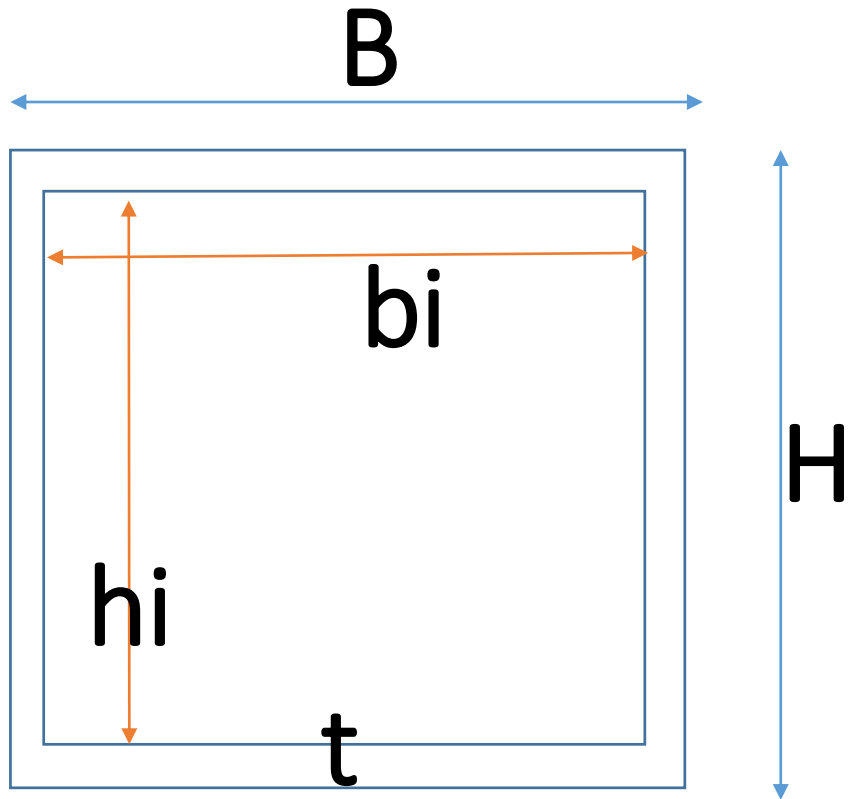
مزایای ستون های CFT

۱- افزایش مقاومت فشاری

$$P_p = F_y A_s + C_v \left(A_c + A_{sr} \frac{E_s}{E_c} \right) f_c \quad (10-8-10)$$

۰/۸۵ = C_v برای مقاطع فولادی توخالی مستطیلی شکل

۰/۹۵ = C_v برای مقاطع فولادی توخالی دایره‌ای شکل



$$B = 40 \text{ cm}$$

$$H = 40 \text{ cm}$$

$$t = 2 \text{ cm}$$

$$f'_c = 300 \frac{\text{kg}}{\text{cm}^2}$$

$$F_y = 2400 \frac{\text{kg}}{\text{cm}^2}$$

$$E_s = 2.04 \times 10^6 \frac{\text{kg}}{\text{cm}^2}$$

$$E_c = 2.62 \times 10^5 \frac{\text{kg}}{\text{cm}^2}$$

$$K = 1$$

$$L = 360 \text{ cm}$$

$$b_i = B - 2t = 40 - 4 = 36 \text{ cm}$$

$$h_i = H - 2t = 40 - 4 = 36 \text{ cm}$$

$$A_s = 40 \times 2 \times 2 + (40 - 4) \times 2 \times 2 = 304 \text{ cm}^2$$

$$A_c = b_i h_i - 0.85r^2 = 36 \times 36 = 1296 \text{ cm}^2$$

$$P_A = F_y A_s + 0.85 f'_c A_c = 2400 \times 304 + 0.85 \times 300 \times 1296 \\ = 1060080 \text{ kg}$$

$$P_e = \frac{\pi^2 EI}{(KL)^2} = 13906680 \text{ kg}$$

$$P_n = 1060080 \times 0.658^{0.076} = 1026792 \text{ kg}$$

$$\mathbf{0.75} P_n = \mathbf{0.75} \times 1026792 = 770093.8 \text{ kg}$$
 ستون کامپوزیت

$$\mathbf{0.9} P_n = \boxed{639280.43 \text{ kg}} \quad \text{ستون فلزی تنها}$$

مزایای ستون های CFT

$$Z_s = 40 \times 2 \times (40 - 2) + 2 \times \frac{36}{2} \times 2 \times \frac{36}{2} = 4336 \text{ cm}^3$$

$$Z_c = 11664 \text{ cm}^3$$

$$M_D = F_y Z_s + \frac{0.85 \times f'_c \times Z_c}{2} = 11893560 \text{ kg.cm}$$

$$h_n = \frac{0.85 \times f'_c \times A_c}{2[0.85 \times f'_c \times b_i + 4tF_y]} \leq \frac{h_i}{2} = 18$$

$$h_n = 5.82 \text{ cm}$$

$$Z_{sn} = 2t h_n^2 = 135.6018 \text{ cm}^3$$

$$Z_{cn} = b_i h_n^2 = 1220.417 \text{ cm}^3$$

$$M_B = M_D - F_y Z_{sn} - \frac{0.85 f'_c Z_{cn}}{2} = 11412512 \text{ kg.cm}$$

۲- افزایش مقاومت خمی

ستون کامپوزیت

$$0.9M_n = 10271260 \text{ kg.cm}$$

ستون فلزی تنها

$$M_n = 0.9 Z F_y = 0.9 \times 4336 \times 2400 = 9365760 \text{ kg.cm}$$

مزایای ستون های CFT

۶- افزایش نسبت لنگر خمی ستون به تیر هنگام کنترل ستون قوی تیر ضعیف

$$\sum M_{pc}^* = \sum Z_c (F_{yc} - P_{uc}/A_g)$$

در روابط فوق:

Z_c =اساس مقطع پلاستیک ستون

A_g =سطح مقطع ستون

F_y =تنش تسلیم فولاد ستون

P_{uc} = مقاومت فشاری مورد نیاز ستون حاصل از ترکیبات بار زلزله تشدیدیافته

M_{pb} =لنگر خمی پلاستیک تیر در محل تشکیل مفصل پلاستیک

R_{yb} =نسبت تنش تسلیم مورد انتظار به حداقل تنش تسلیم تعیین شده مصالح تیر مطابق مقادیر

جدول ۱-۲-۳-۱۰

C_{pr} = مطابق تعریف بند ۴-۵-۳-۱۰

مزایای ستون های CFT

۷- افزایش سختی ستون

$$I_S = 73365.33 \text{ cm}^4$$

$$I_C = 139968 \text{ cm}^4$$

$$EI_{eff} = E_S I_S + C_3 E_C I_c = 1.82 \times 10^{11}$$

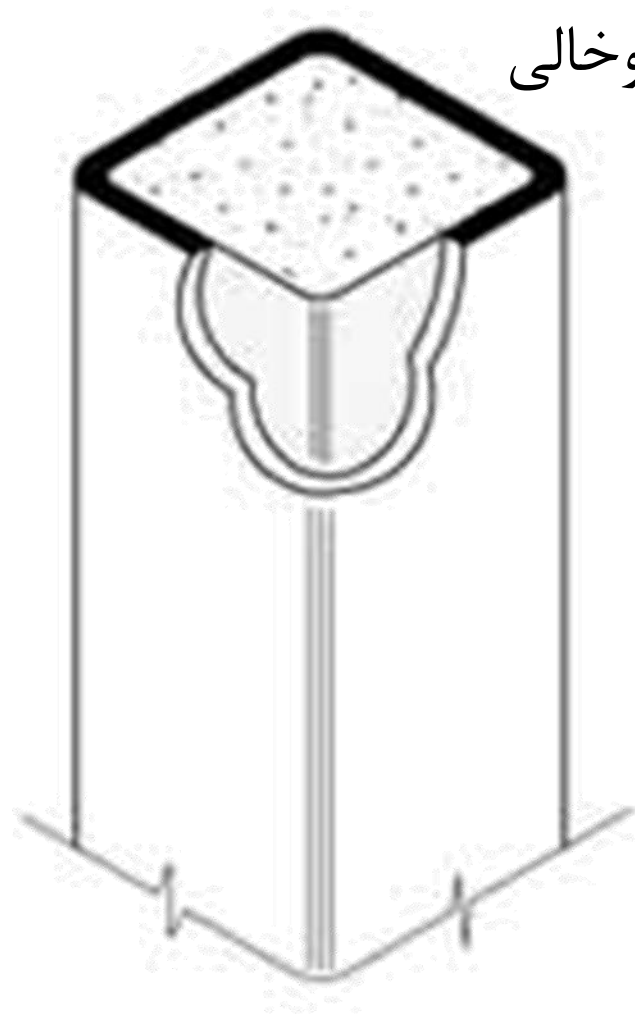
$$I_{eff} = 89515 \text{ cm}^4$$

$$I_t = I_S + I_C \times \frac{E_C}{E_S} = 91310 \text{ cm}^4$$

مشکلات ستون های CFT



۱- بتن ریزی داخل مقطع توخالی

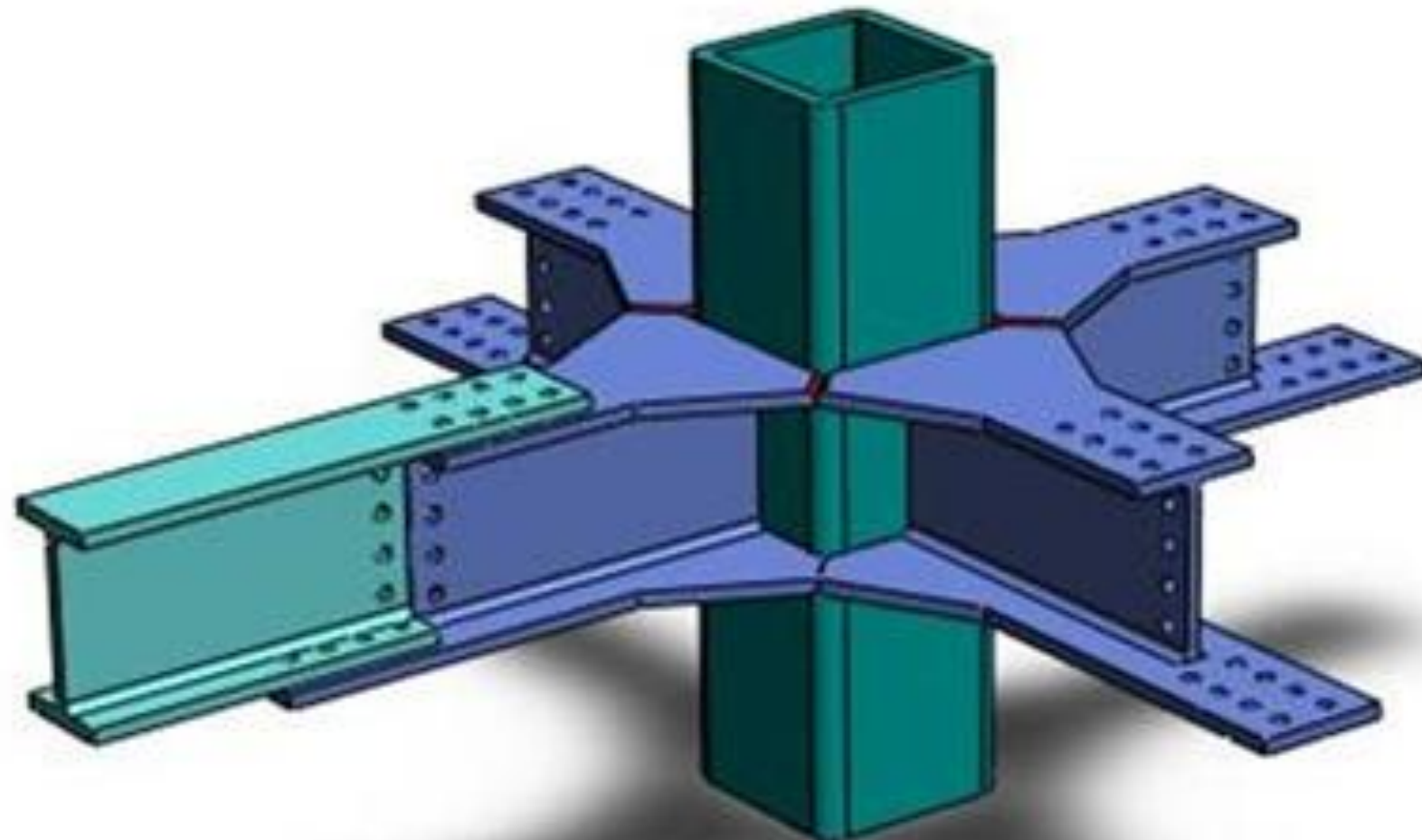






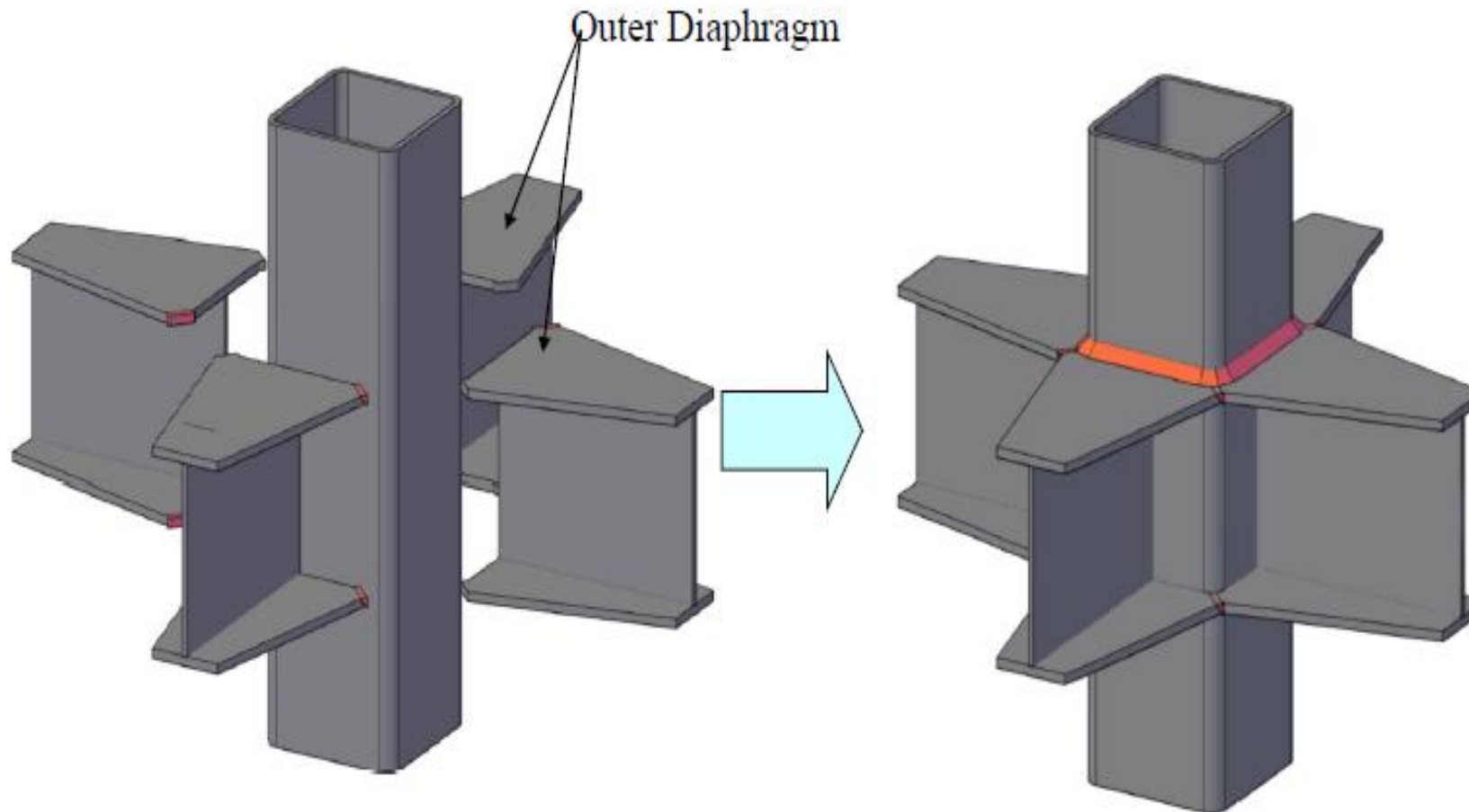
روش های مختلف اجرای ورق

پیوستگی در ستون CFT



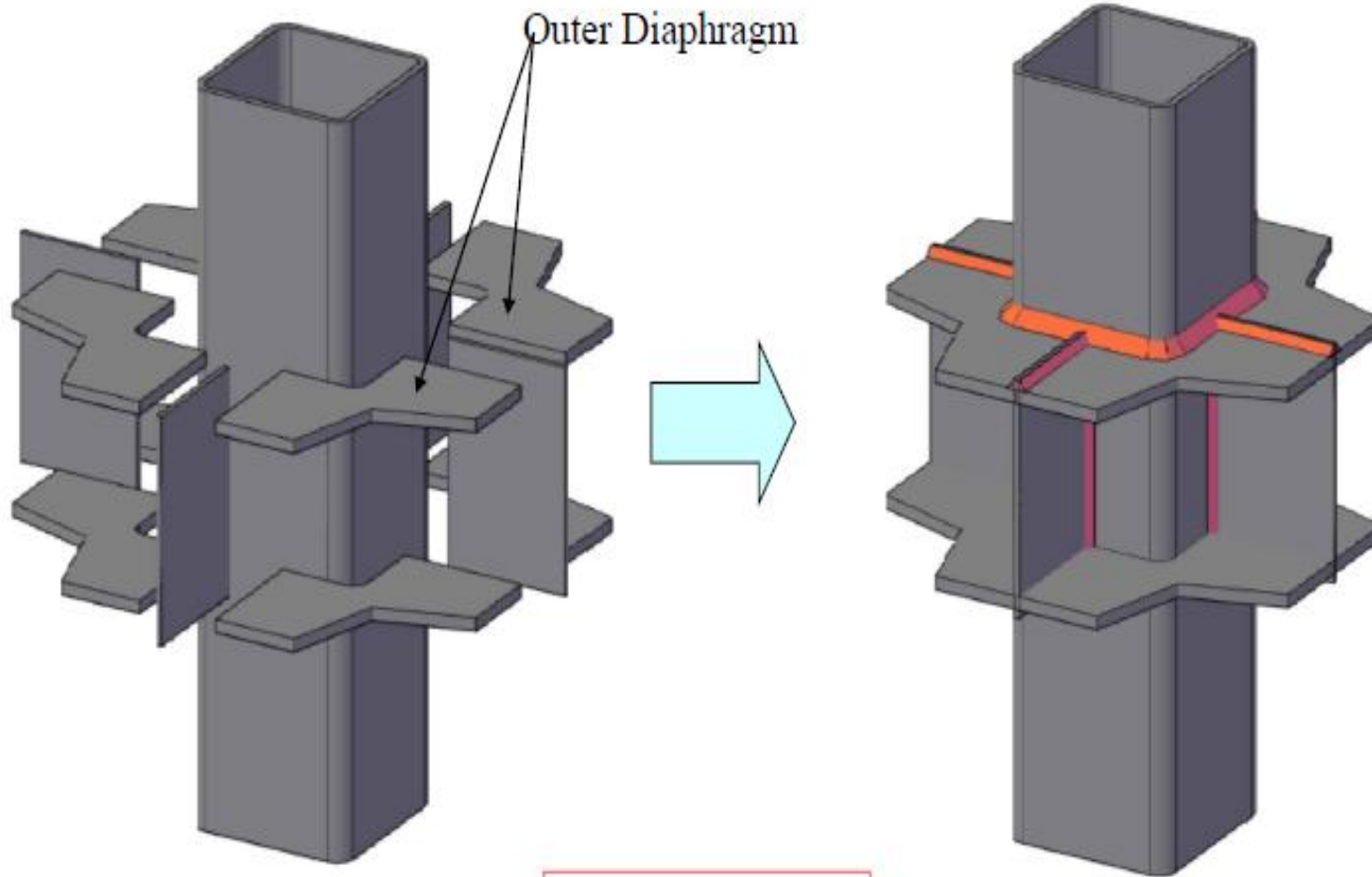


③ Outer Diaphragm-A



Red line : welding

④ Outer Diaphragm-B



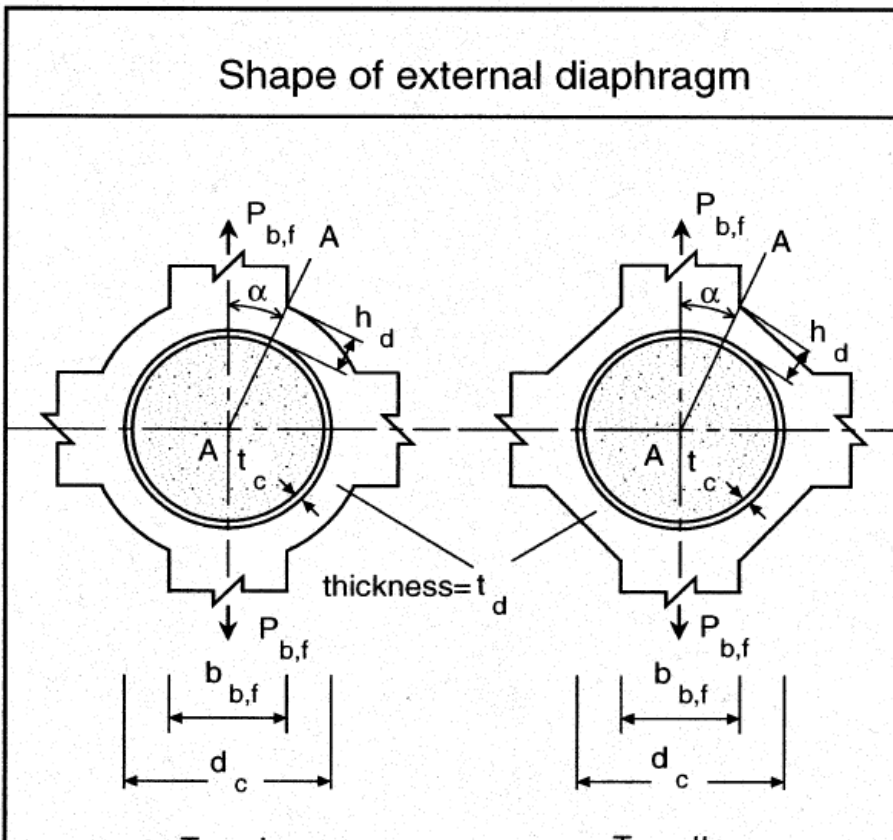
Red lines : welding

Shape of external diaphragm	Ultimate resistance equation		
	$P_{b,f}^* = 3.17 \left(\frac{t_c}{b_c} \right)^{2/3} \left(\frac{t_d}{b_c} \right)^{2/3} \left(\frac{t_c + h_d}{b_c} \right)^{1/3} b_c^2 f_{d,u} \quad (2)$ <p>where</p> $\frac{b_c / 2 + h_d}{t_d} \leq \frac{240}{\sqrt{f_{d,y}}}$ <p>Symbols:</p> <ul style="list-style-type: none"> $f_{d,y}$ = Yield strength of diaphragm material $f_{d,u}$ = Ultimate tensile strength of diaphragm material $P_{b,f}$ = Axial load in tension or compression flange 		
Range of validity			
$17 \leq \frac{b_c}{t_c} \leq 67$	$0.07 \leq \frac{h_d}{b_c} \leq 0.4$	$0.75 \leq \frac{t_d}{t_c} \leq 2.0$	$\theta \leq 30^\circ$

Note:

Symbols: b = Width d = diameter h = Height t = Thickness θ = Slope of diaphragm

Subscript: b = Beam c = Column d = Diaphragm

Shape of external diaphragm	Ultimate strength equation	
 <p>Type I</p> <p>Type II.</p>	$P_{b,f}^* = 3.09f_1(\alpha)A_1f_{c,y} + 1.77f_2(\alpha)A_2f_{d,y}$ <p style="text-align: right;">(1)</p> <p>where</p> $f_1(\alpha) = \sin \alpha$ $f_2(\alpha) = \sqrt{2\sin^2 \alpha + 1}$ $A_1 = \left\{ (0.63 + 0.88 \frac{b_{b,f}}{d_c}) \sqrt{d_c t_c} + t_d \right\} t_c$ $A_2 = h_d t_d$ <p>Symbols:</p> <p>$f_{c,y}$ = Yield strength of column material</p> <p>$f_{d,y}$ = Yield strength of diaphragm material</p> <p>$P_{b,f}$ = Axial load in tension flange</p> <p>α = Slope of critical section</p>	
Range of validity		
$20 \leq d_c/t_c \leq 50$	$h_d/d_c \leq 0.3$	$0.25 \leq b_{b,f}/d_c \leq 0.75$

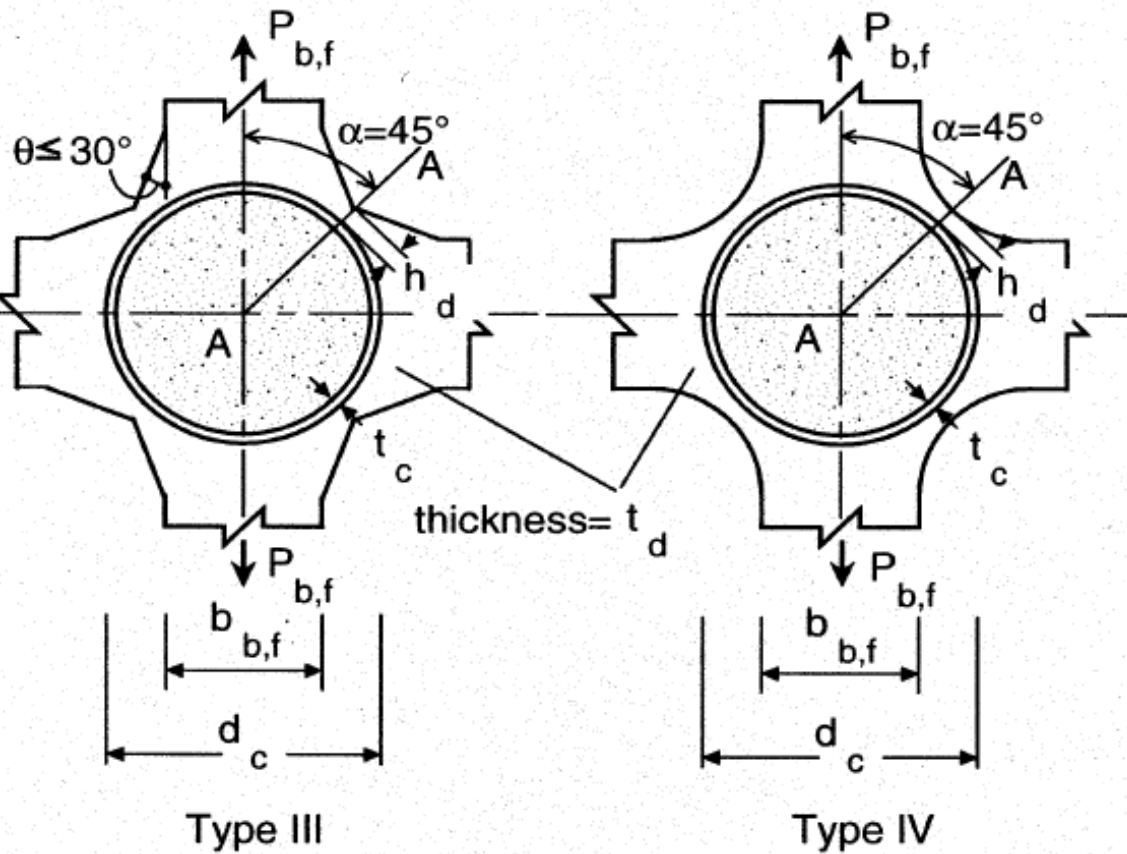
Note:

Symbols: b = Width d = Diameter

h = Height t = Thickness θ = Slope of diaphragm

Subscript: b = Beam c = Column

d = Diaphragm f = Beam flange



Type III

Type IV

$$P_{b,f}^* = 2.19A_1 f_{c,y} + 2.53A_2 f_{d,y} \quad (2)$$

where

$$A_1 = \left\{ (0.63 + 0.88 \frac{b_{b,f}}{d_c}) \sqrt{d_c t_c} + t_d \right\} t_c$$

$$A_2 = h_d t_d$$

Symbols:
See above.

Range of validity

$$20 \leq d_c/t_c \leq 50$$

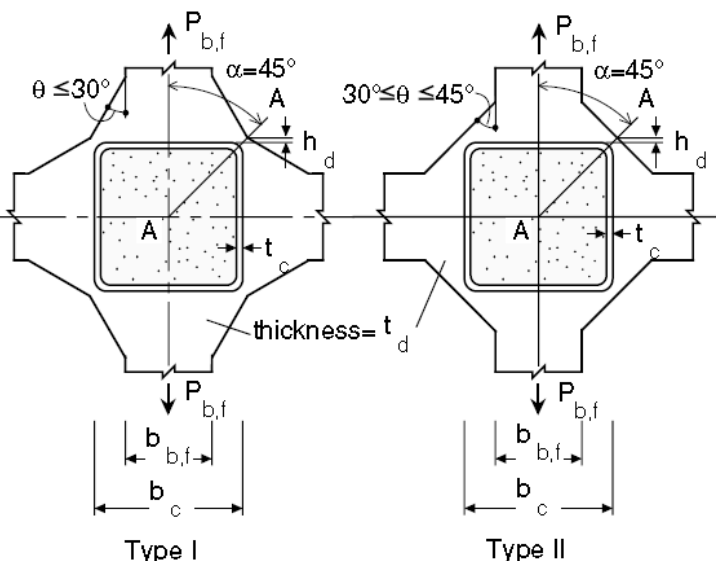
$$h_d/d_c \leq 0.3$$

$$0.25 \leq b_{b,f}/d_c \leq 0.75$$

Note:

Symbols: b = Width d = Diameter h = Height t = Thickness θ = Slope of diaphragm

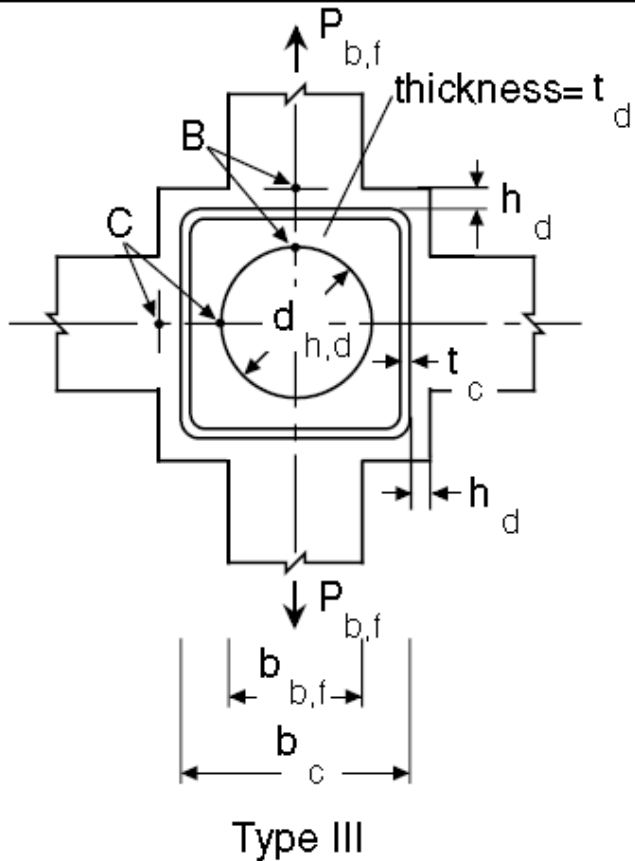
Subscript: b = Beam c = Column d = Diaphragm f = Beam flange

Shape of external diaphragm	Ultimate resistance equation
 <p>Type I</p> <p>Type II</p>	<p>Type I connection:</p> <p>The design resistance is the larger of the values calculated by Eqs. 1 and 2.</p> $P_{b,f}^* = 3.74 \left(\frac{t_c}{b_c} \right)^{\frac{2}{3}} \left(\frac{t_d}{b_c} \right)^{\frac{2}{3}} \left(\frac{t_c + h_d}{b_c} \right)^{\frac{1}{3}} b_{c,d,u}^2 f_{d,u} \quad (1)$ $P_{b,f}^* = 2.86(4t_c + t_d)t_c f_{c,y} + 3.30h_d t_d f_{d,y} \quad (2)$ <p>If $f_{c,y} \geq f_{d,y}$, then calculate with $f_{c,y} = f_{d,y}$.</p> <p>Type II connection:</p> <p>The design resistance is given by Eq. 2 .</p> <p>Symbols:</p> <ul style="list-style-type: none"> $f_{c,y}$ = Yield strength of column material $f_{d,y}$ = Yield strength of diaphragm material $f_{d,u}$ = Ultimate tensile strength of diaphragm material $P_{b,f}$ = Axial load in tension flange
Range of validity	
$20 \leq b_c/t_c \leq 50, \quad 0.75 \leq t_d/t_c \leq 2.0, \quad t_d \geq t_{b,f}, \quad h_d/b_c \geq 0.1t_{b,f}/t_d \text{ (Type I)}, \quad h_d/b_c \geq 0.15t_{b,f}/t_d \text{ (Type II)}$	

Note:

Symbols: b = Width d = Diameter h = Height t = Thickness θ = Slope of diaphragm

Subscript: b = Beam c = Column d = Diaphraam f = Beam flange h = hole



Type III connection:

The design resistance is the smaller of the values given by Eqs. 3 and 4.

$$P_{b,f}^* = 1.43(b_c + 2h_d - d_{h,d}) \frac{b_{b,f}t_d}{d_h^2} f_{d,y} \quad (3)$$

$$P_{b,f}^* = 1.43(b_c + 2h_d - d_{h,d})t_d f_{d,y} \quad (4)$$

Symbols: See above.

Range of validity

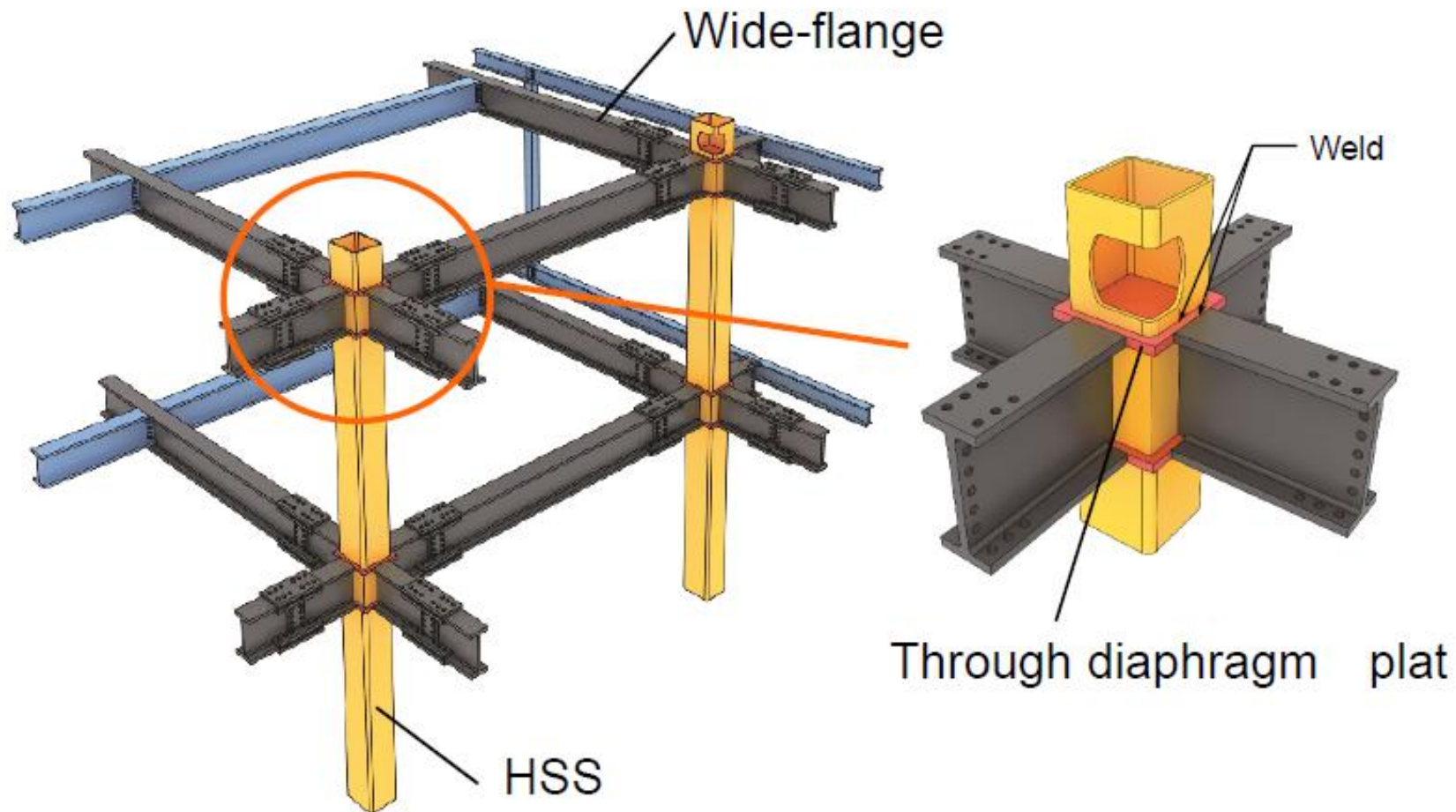
$$20 \leq b_c/t_c \leq 50, \quad 0.75 \leq t_d/t_c \leq 2.0, \quad t_d \geq t_{b,f}, \quad h_d/b_c \geq 0.1t_{b,f}/t_d \text{ (Type I)}, \quad h_d/b_c \geq 0.15t_{b,f}/t_d \text{ (Type II)}$$

Note:

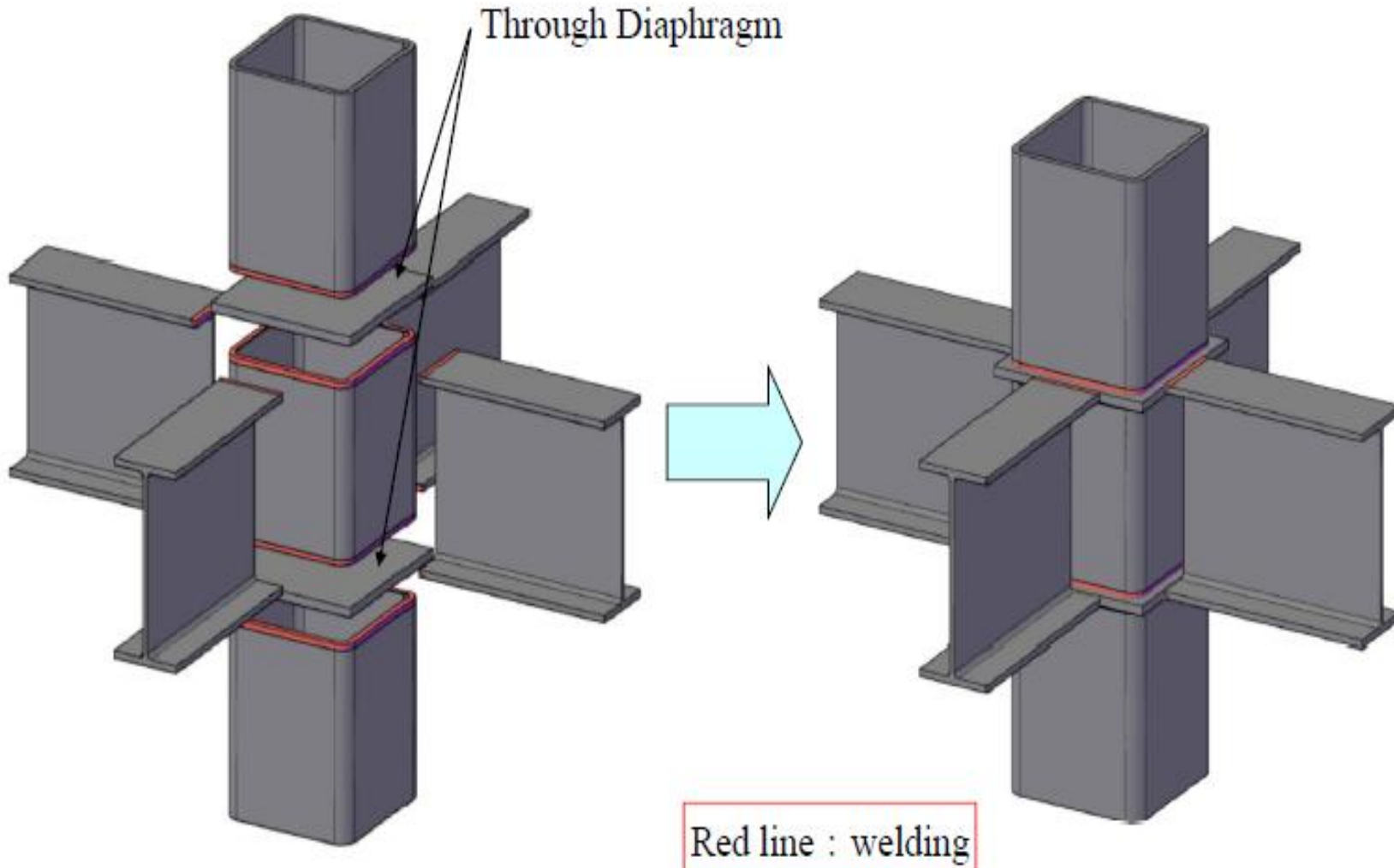
Symbols: b = Width d = Diameter h = Height t = Thickness θ = Slope of diaphragm

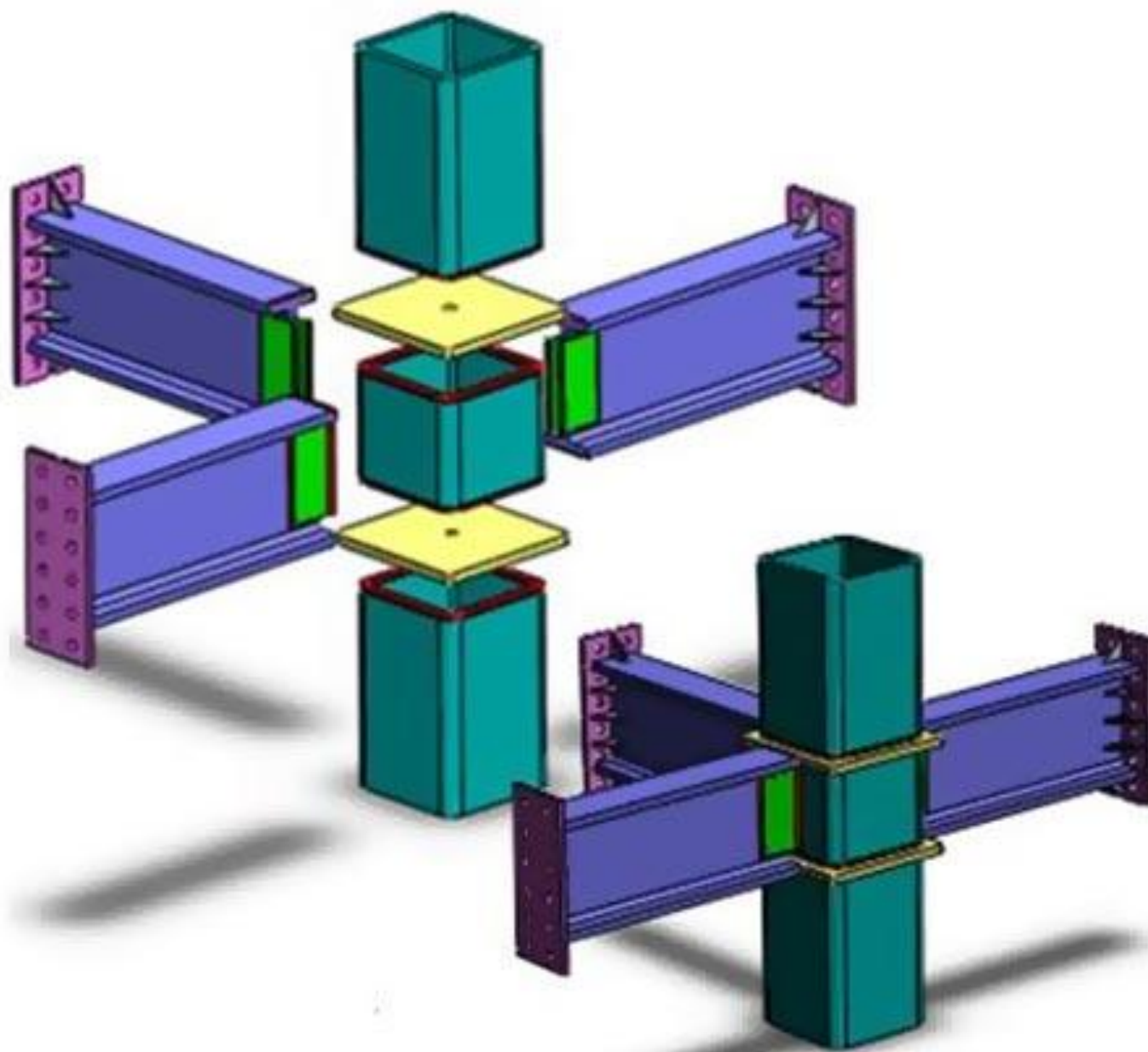
Subscript: b = Beam c = Column d = Diaphragm f = Beam flange h = hole

Column to Beam Rigid Frame Connection



① Through Diaphragm





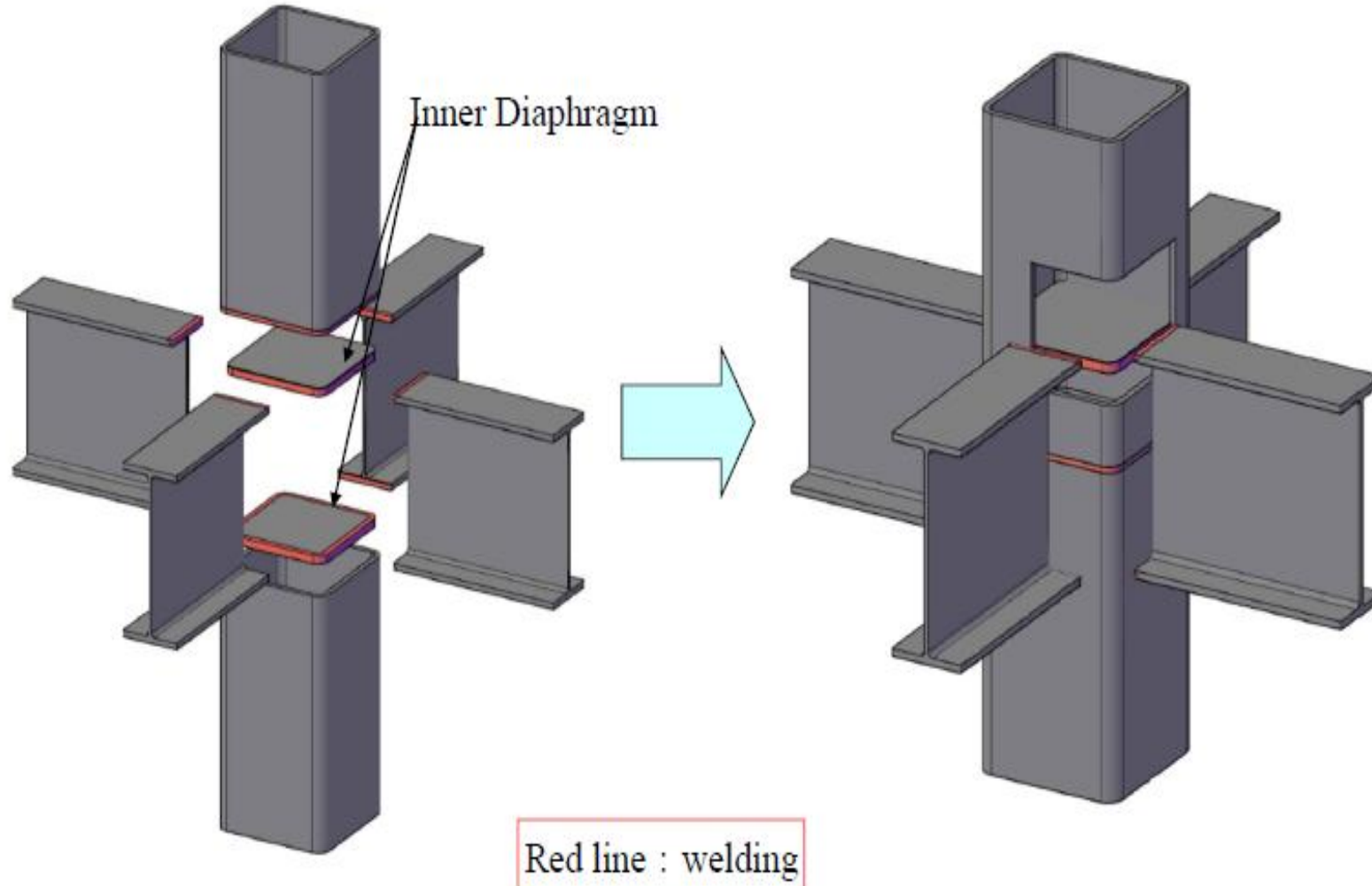


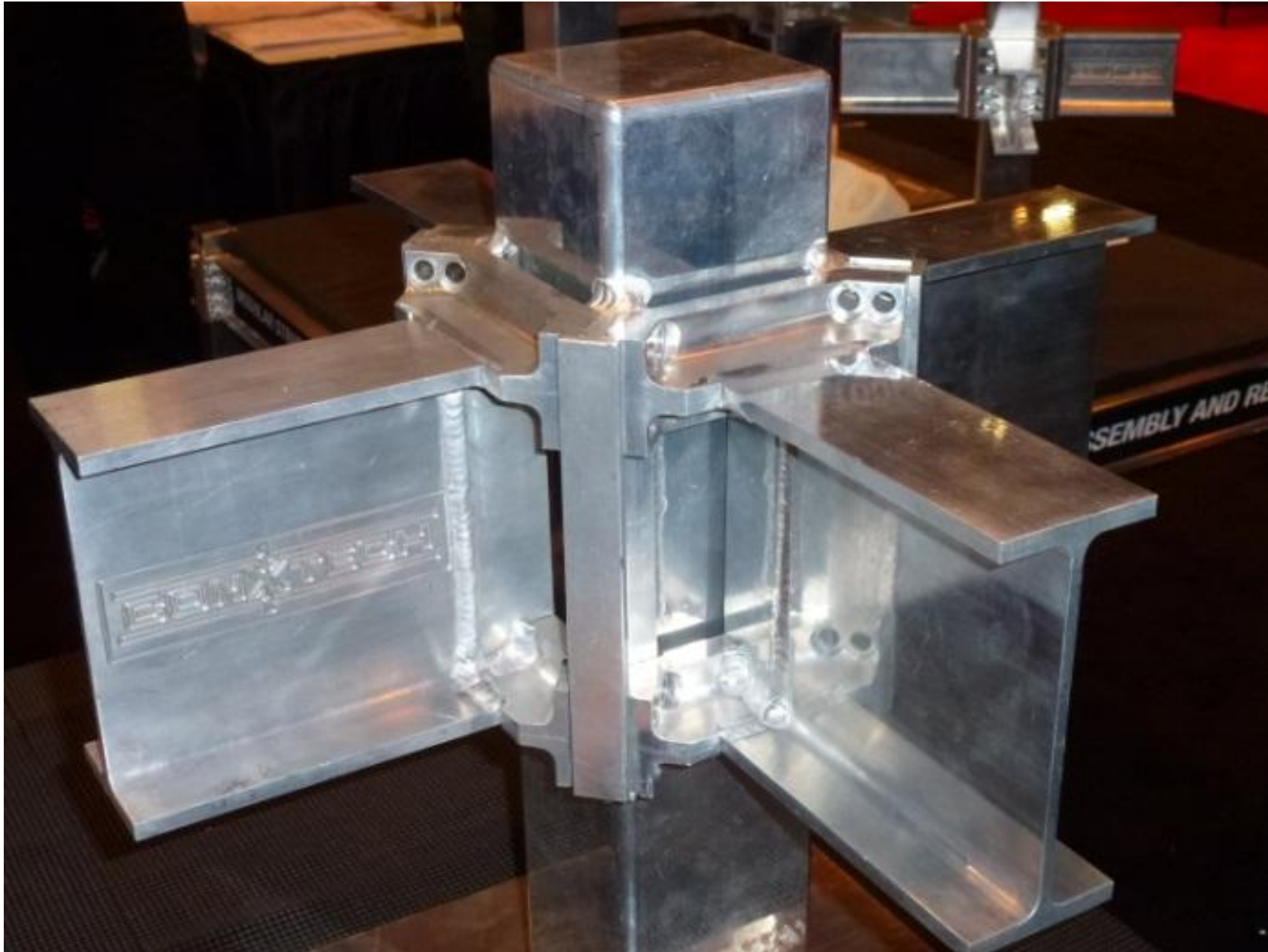
① Through Diaphragm



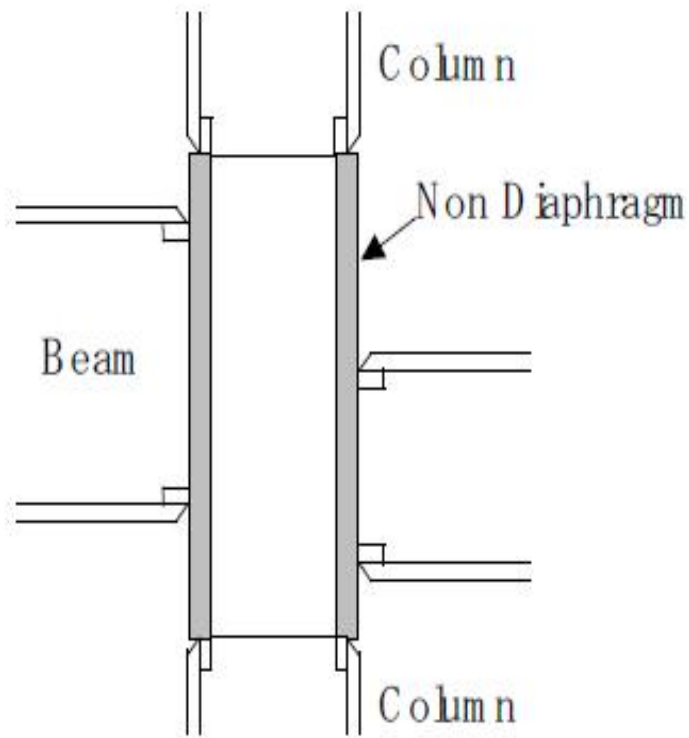
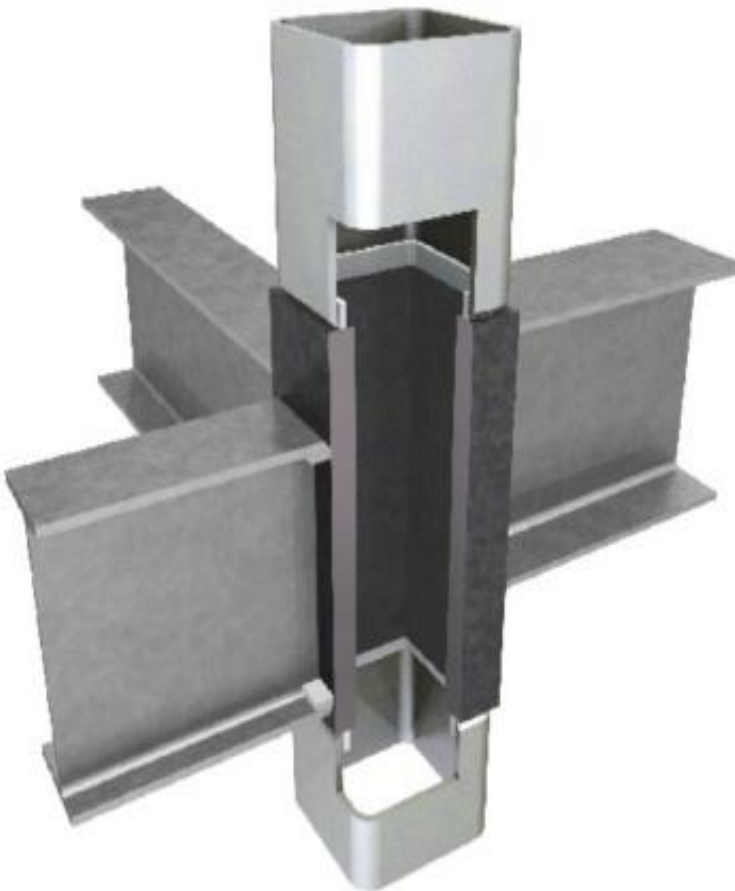
- 1. High accuracy and quality
- 2. Constant productivity

② Inner Diaphragm

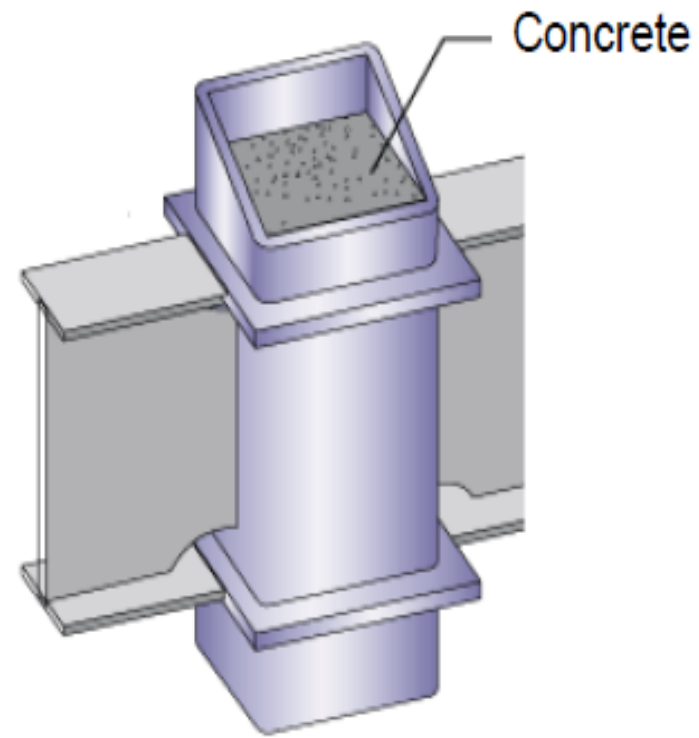
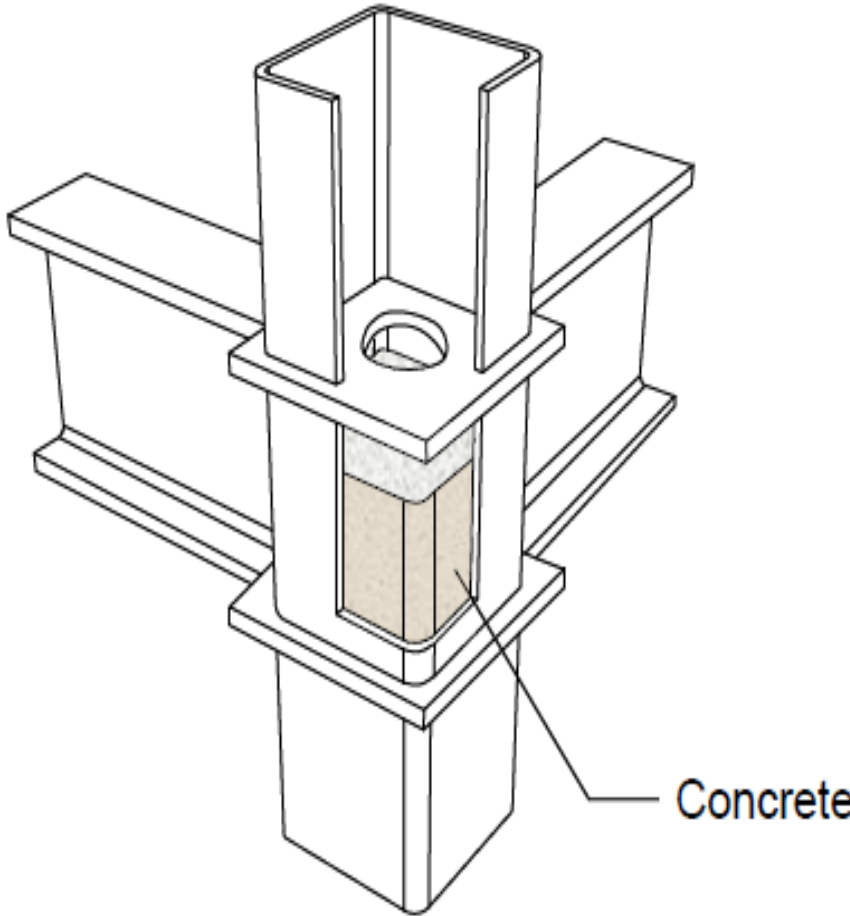




⑤ Non-Diaphragm Connection



CFT (Concrete Filled Steel Tube)



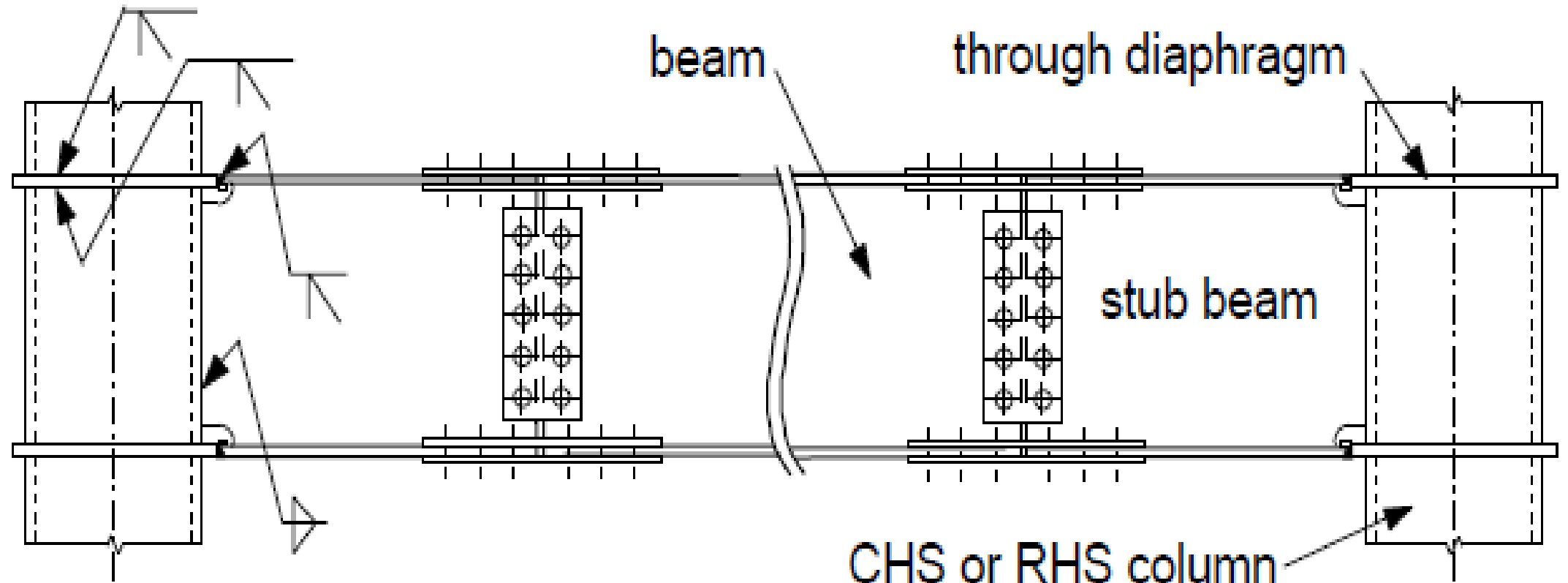
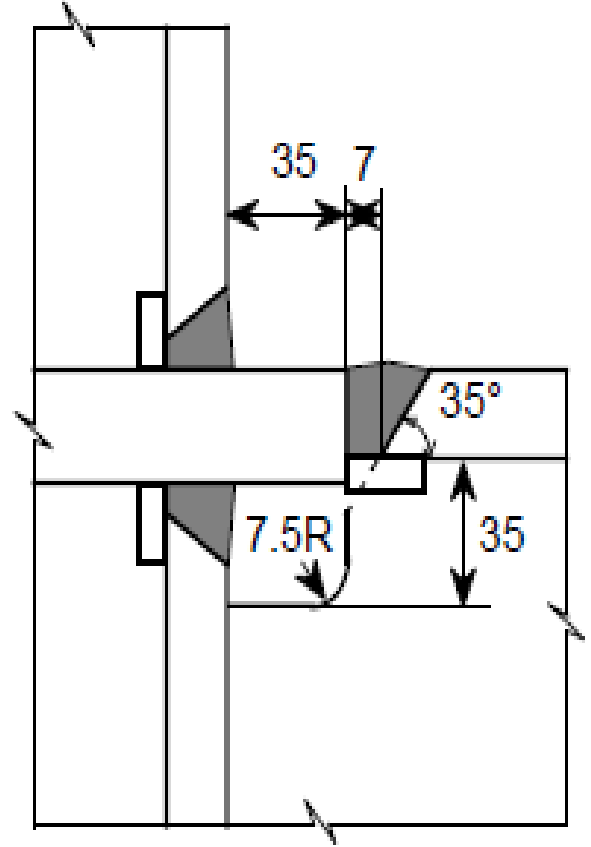
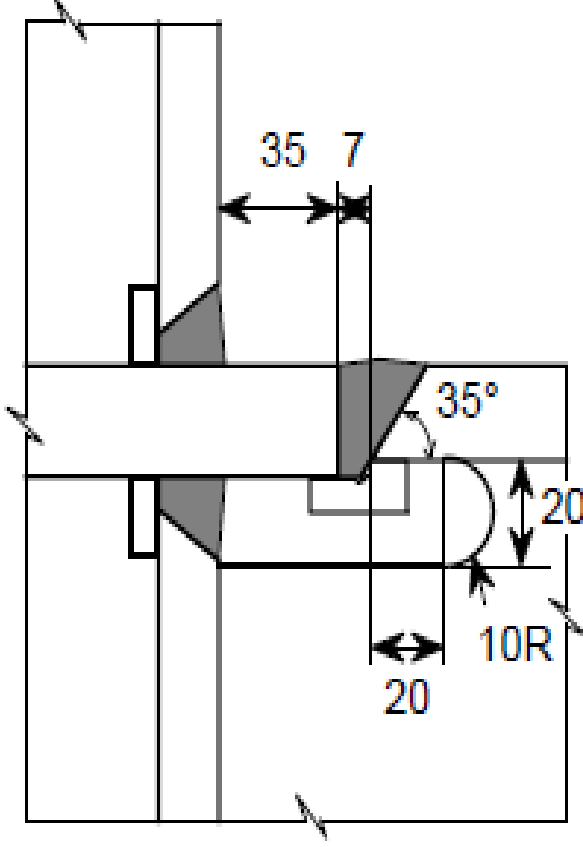


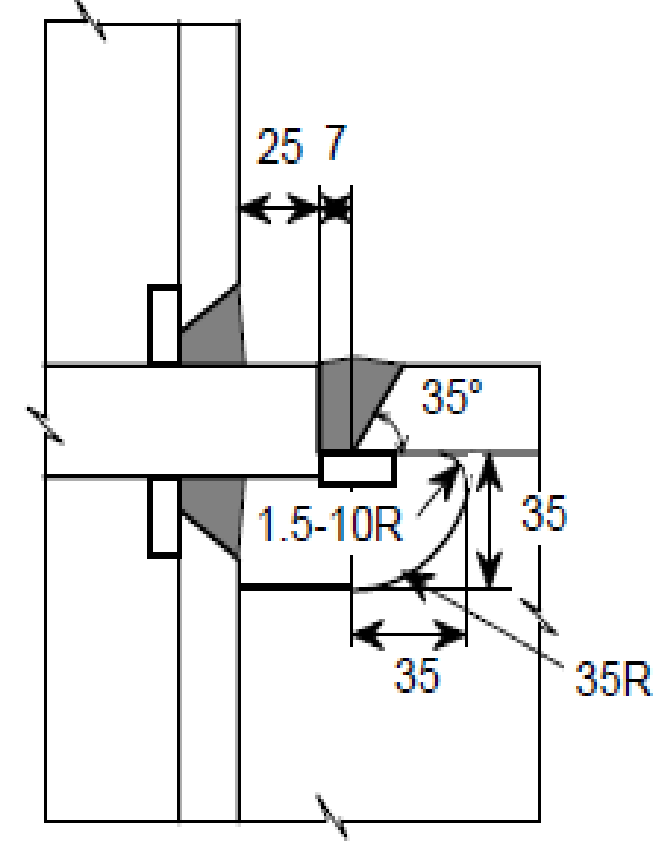
Figure 8.1 – Beam-to-column connections with through diaphragms for shop-welding



(a) Improved type A cope



(b) Improved type B cope



(c) Conventional cope

Figure 8.2 – Details of improved and conventional beam copes

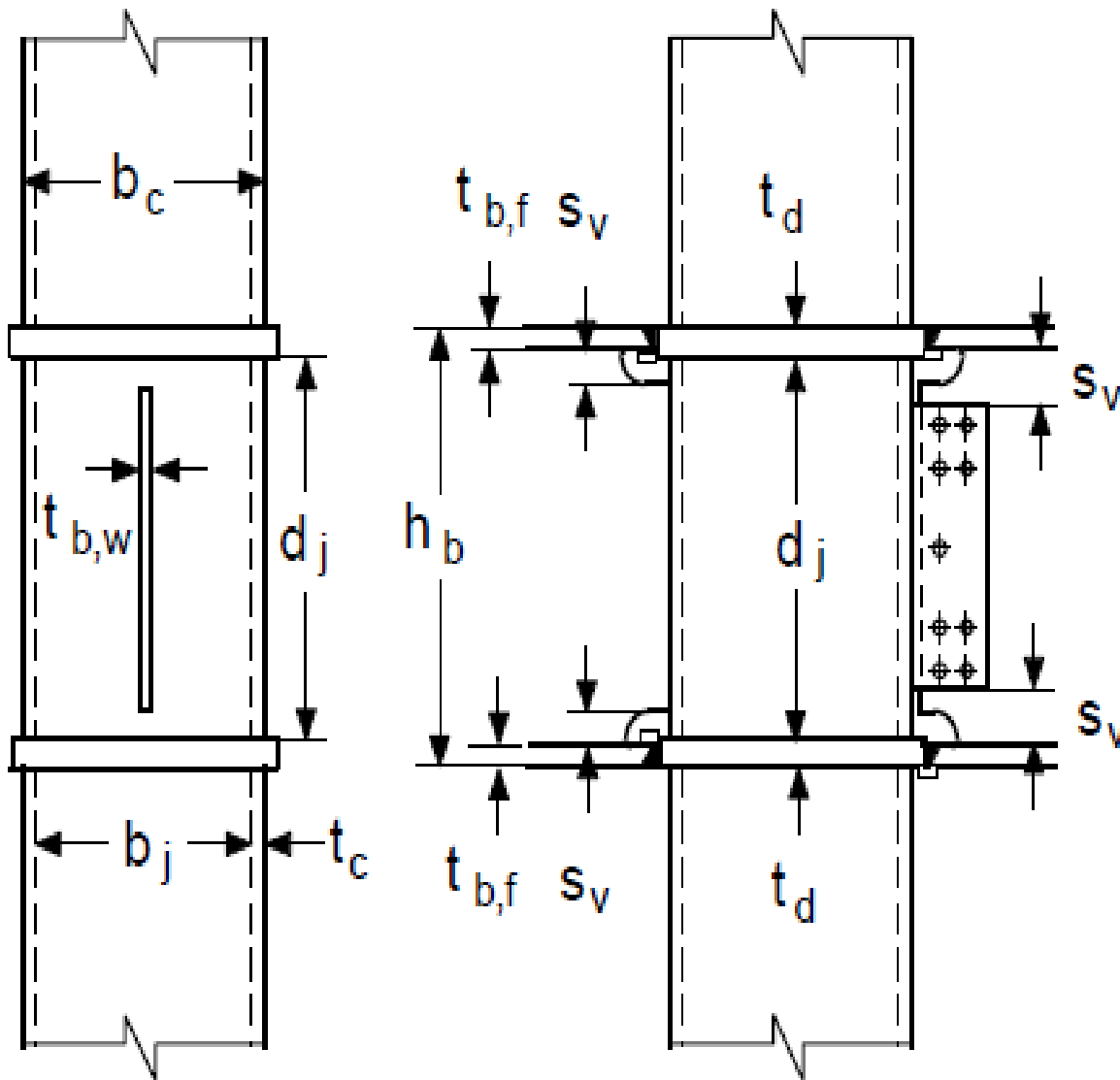


Figure 8.3 – Dimensions of welded web joint

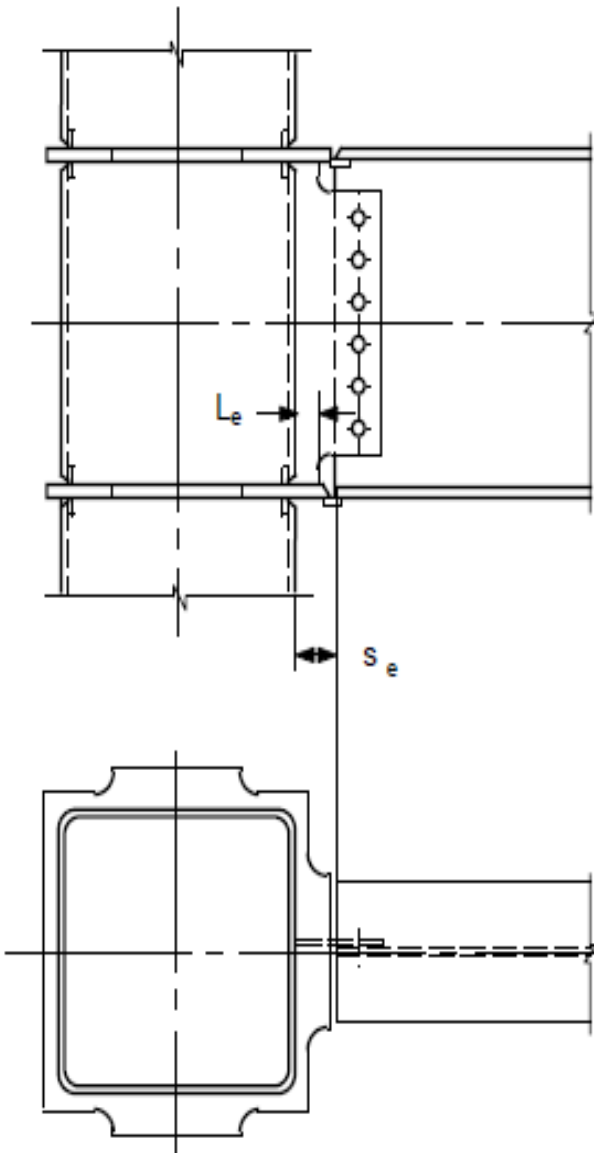
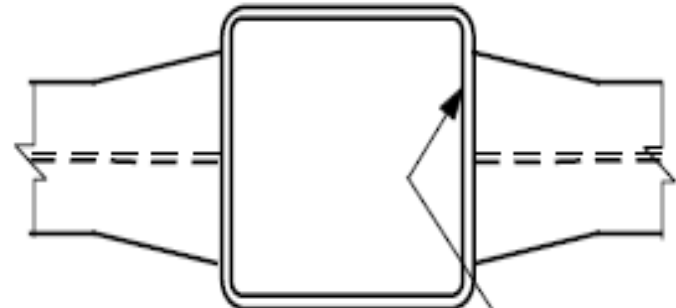
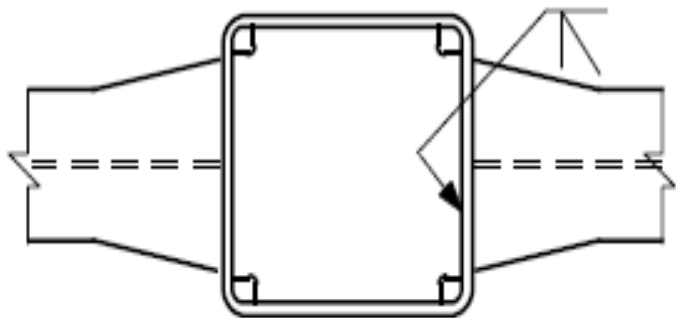


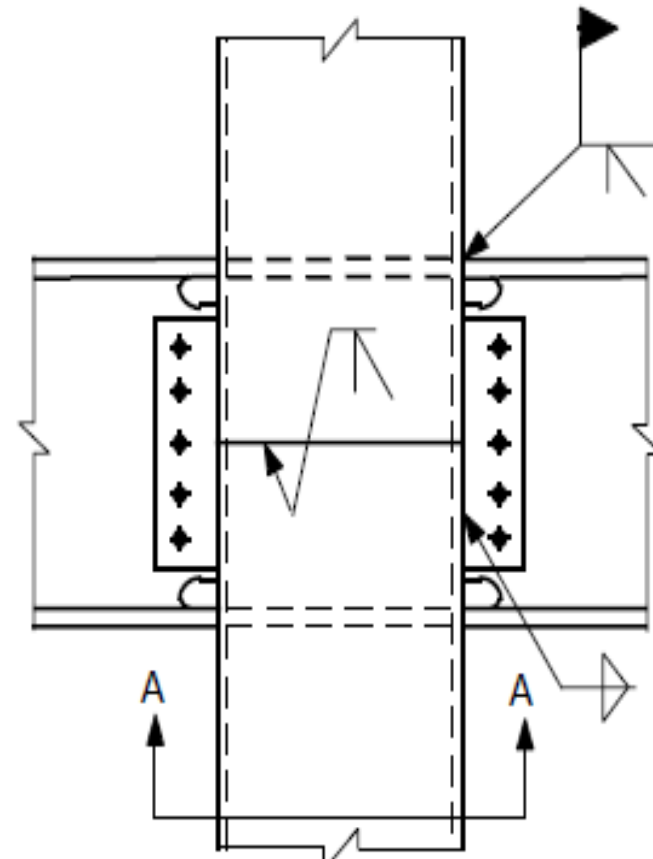
Figure 8.9 – Improved field-welded connection



(b) Section A-A

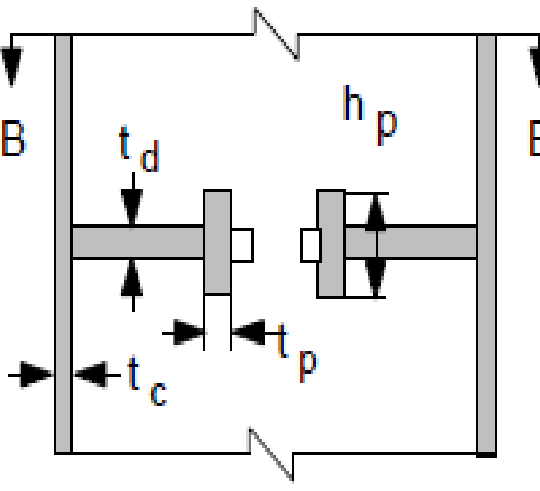


(c) Section A-A



(a) Side view

Figure 8.15 – Beam-to-column connections with internal diaphragms



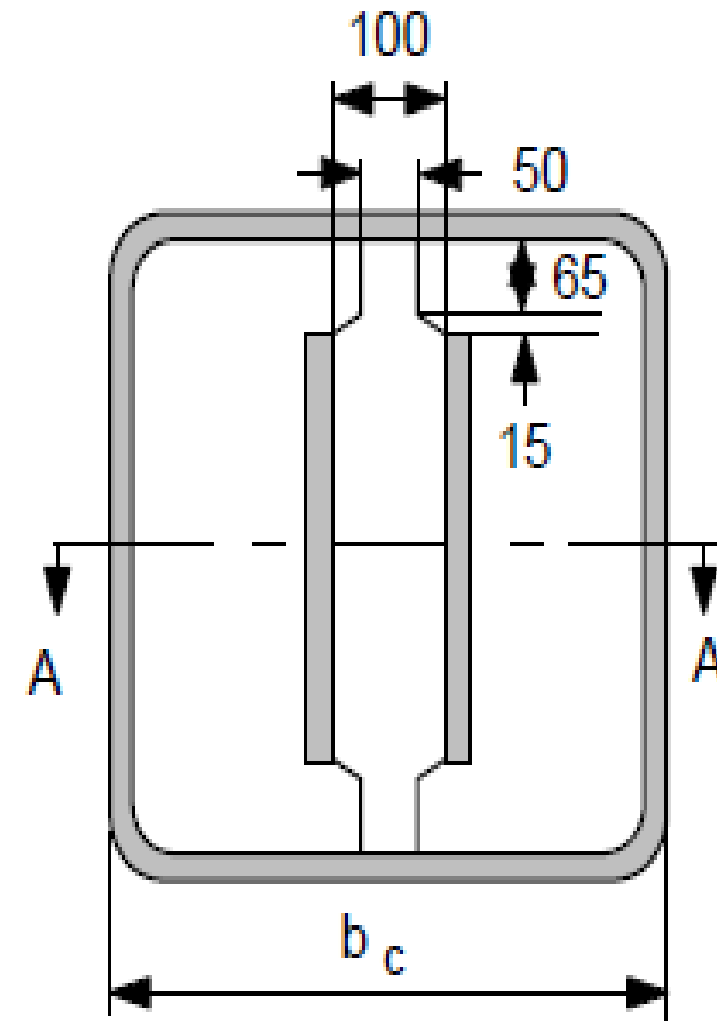
$$b_c = 400 - 1000 \text{ mm}$$

$$2t_c \geq t_d \geq 16 \text{ mm}$$

$$h_p = 0.2b_c$$

$$t_p = 16 - 40 \text{ mm}$$

(b) Section A – A



(a) Section B-B

Figure 8.16 – RHS with prefabricated internal diaphragms

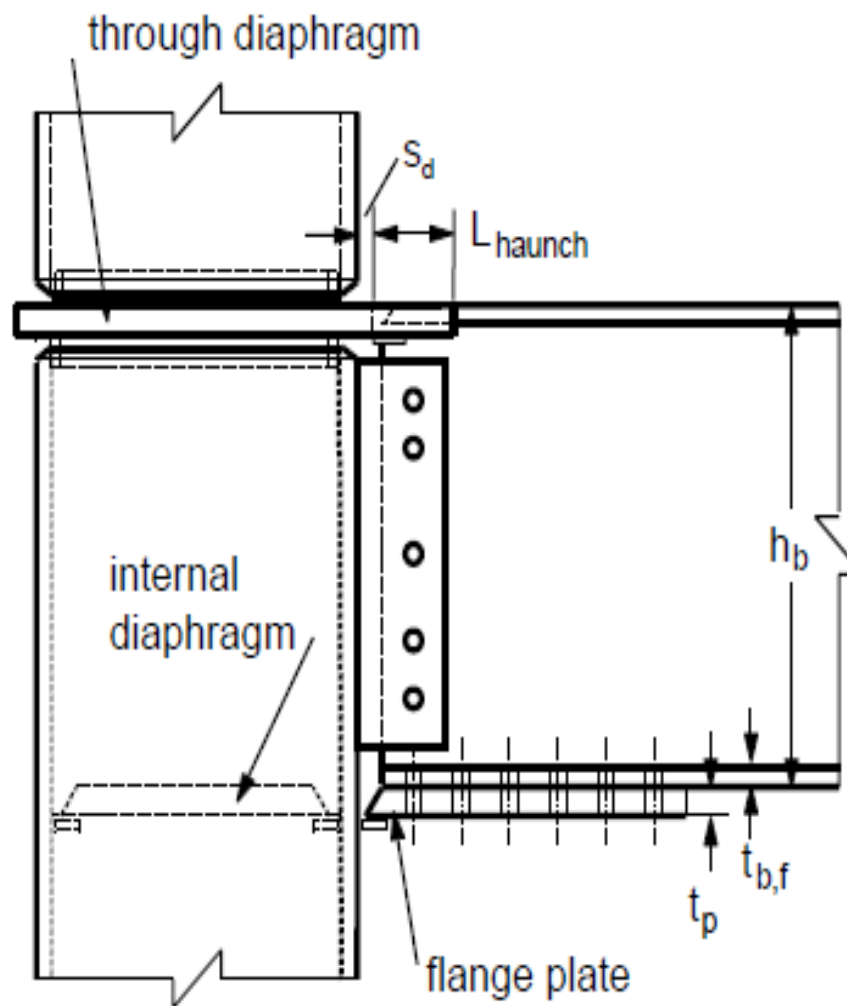
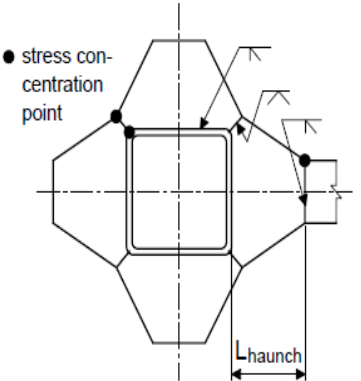
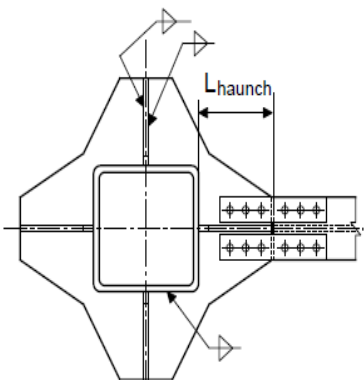


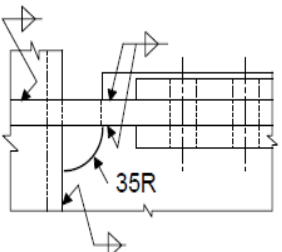
Figure 8.19 – Beam-to-column connections with combined internal and through diaphragms



(a) Recommendations by AIJ



(b) Proposed details



(c) Details of welded joints at flange centre

Figure 8.20 – Beam-to-column connections with external diaphragms

	f'c=	300	kg/cm2	f'c=	300	kg/cm2	f'c=	240	kg/cm2	f'c=	240	kg/cm2
	Fy=	2400	kg/cm2	Fy=	3500	kg/cm2	Fy=	2400	kg/cm2	Fy=	3500	kg/cm2
	Es	2040000	kg/cm2									
	Ec	2.62E+05	kg/cm2	Ec	2.62E+05	kg/cm2	Ec	232000	kg/cm2	Ec	232000	kg/cm2
	L=	360	cm									
	30x1.2 (ST37)			30x1.2 (ST52)			30x1.2 (ST37)			30x1.2 (ST52)		
	Composit	Steel	Ratio									
ΦPn=	372539.72	284976.59	1.31	472341.69	406791.41	1.16	346008.63	284976.59	1.21	446354.90	406791.41	1.10
ΦMn=	3601133.63	3226728.96	1.12	5130715.38	4705646.40	1.09	3550835.77	3226728.96	1.10	5067041.45	4705646.40	1.08
Pe	3840854.34	2974032.37	1.29	3840854.34	2974032.37	1.29	3742950.89	2974032.37	1.26	3742950.89	2974032.37	1.26
A	235.90	138.24	1.71	235.90	138.24	1.71	224.87	138.24	1.63	224.87	138.24	1.63
I	25343.06	19143.48	1.32	25343.06	19143.48	1.32	24642.84	19143.48	1.29	24642.84	19143.48	1.29
leff	24723.10	19143.48	1.29	24723.10	19143.48	1.29	24092.91	19143.48	1.26	24092.91	19143.48	1.26
	30x1.5 (ST37)			30x1.5 (ST52)			30x1.5 (ST37)			30x1.5 (ST52)		
	Composit	Steel	Ratio									
ΦPn=	422560.61	352179.25	1.20	545999.32	502503.91	1.09	397178.02	352179.25	1.13	521191.41	502503.91	1.04
ΦMn=	4333188.33	3951180.00	1.10	6187376.06	5762137.50	1.07	4277924.92	3951180.00	1.08	6120000.10	5762137.50	1.06
Pe	4400160.39	3606291.76	1.22	4400160.39	3606291.76	1.22	4310496.67	3606291.76	1.20	4310496.67	3606291.76	1.20
A	264.46	171.00	1.55	264.46	171.00	1.55	253.91	171.00	1.48	253.91	171.00	1.48
I	28891.06	23213.25	1.24	28891.06	23213.25	1.24	28249.78	23213.25	1.22	28249.78	23213.25	1.22
leff	28323.28	23213.25	1.22	28323.28	23213.25	1.22	27746.13	23213.25	1.20	27746.13	23213.25	1.20

	30x2 (ST37)			30x2 (ST52)			30x2 (ST37)			30x2 (ST52)		
	Composit	Steel	Ratio	Composit	Steel	Ratio	Composit	Steel	Ratio	Composit	Steel	Ratio
φPn=	503198.30	460595.84	1.09	664656.25	656714.86	1.01	479695.66	460595.84	1.04	641756.25	656714.86	0.98
φMn=	5463751.36	5088960.00	1.07	7829078.95	7421400.00	1.05	5405018.14	5088960.00	1.06	7760528.56	7421400.00	1.05
Pe	5252966.07	4570333.55	1.15	5252966.07	4570333.55	1.15	5175865.95	4570333.55	1.13	5175865.95	4570333.55	1.13
A	310.67	224.00	1.39	310.67	224.00	1.39	300.88	224.00	1.34	300.88	224.00	1.34
I	34300.91	29418.67	1.17	34300.91	29418.67	1.17	33749.48	29418.67	1.15	33749.48	29418.67	1.15
leff	33812.69	29418.67	1.15	33812.69	29418.67	1.15	33316.40	29418.67	1.13	33316.40	29418.67	1.13
	30x2.5 (ST37)			30x2.5 (ST52)			30x2.5 (ST37)			30x2.5 (ST52)		
	Composit	Steel	Ratio	Composit	Steel	Ratio	Composit	Steel	Ratio	Composit	Steel	Ratio
φPn=	580461.58	564533.38	1.03	778198.48	804301.21	0.97	558780.34	564533.38	0.99	757130.67	804301.21	0.94
φMn=	6496666.67	6142500.00	1.06	9336990.18	8957812.50	1.04	6438247.42	6142500.00	1.05	9270799.56	8957812.50	1.03
Pe	6012846.68	5429329.54	1.11	6012846.68	5429329.54	1.11	5946941.17	5429329.54	1.10	5946941.17	5429329.54	1.10
A	355.13	275.00	1.29	355.13	275.00	1.29	346.08	275.00	1.26	346.08	275.00	1.26
I	39121.28	34947.92	1.12	39121.28	34947.92	1.12	38649.92	34947.92	1.11	38649.92	34947.92	1.11
leff	38703.94	34947.92	1.11	38703.94	34947.92	1.11	38279.72	34947.92	1.10	38279.72	34947.92	1.10
	30x3 (ST37)			30x3 (ST52)			30x3 (ST37)			30x3 (ST52)		
	Composit	Steel	Ratio	Composit	Steel	Ratio	Composit	Steel	Ratio	Composit	Steel	Ratio
φPn=	654376.57	664000.45	0.99	886646.08	945281.70	0.94	634449.22	664000.45	0.96	867332.16	945281.70	0.92
φMn=	7442112.99	7115040.00	1.05	10722238.65	10376100.00	1.03	7386203.08	7115040.00	1.04	10660238.38	10376100.00	1.03
Pe	6686811.12	6191202.84	1.08	6686811.12	6191202.84	1.08	6630834.50	6191202.84	1.07	6630834.50	6191202.84	1.07
A	397.85	324.00	1.23	397.85	324.00	1.23	389.51	324.00	1.20	389.51	324.00	1.20
I	43396.63	39852.00	1.09	43396.63	39852.00	1.09	42996.28	39852.00	1.08	42996.28	39852.00	1.08
leff	43042.17	39852.00	1.08	43042.17	39852.00	1.08	42681.85	39852.00	1.07	42681.85	39852.00	1.07

	35x1.2 (ST37)			35x1.2 (ST52)			35x1.2 (ST37)			35x1.2 (ST52)		
	Composite	Steel	Ratio	Composite	Steel	Ratio	Composite	Steel	Ratio	Composite	Steel	Ratio
φPn=	474434.57	338752.22	1.40	595683.84	486393.67	1.22	436529.53	338752.22	1.29	558327.42	486393.67	1.15
φMn=	5020983.61	4443672.96	1.13	7145256.18	6480356.40	1.10	4947780.83	4443672.96	1.11	7049988.58	6480356.40	1.09
Pe	6426561.72	4805206.60	1.34	6426561.72	4805206.60	1.34	6243437.31	4805206.60	1.30	6243437.31	4805206.60	1.30
A	298.49	162.24	1.84	298.49	162.24	1.84	283.10	162.24	1.74	283.10	162.24	1.74
I	42997.44	30930.52	1.39	42997.44	30930.52	1.39	41634.54	30930.52	1.35	41634.54	30930.52	1.35
leff	41366.98	30930.52	1.34	41366.98	30930.52	1.34	40188.23	30930.52	1.30	40188.23	30930.52	1.30
35x1.5 (ST37)			35x1.5 (ST52)			35x1.5 (ST37)			35x1.5 (ST52)			
	Composite	Steel	Ratio	Composite	Steel	Ratio	Composite	Steel	Ratio	Composite	Steel	Ratio
φPn=	534731.89	419436.69	1.27	685144.64	602082.26	1.14	498165.08	419436.69	1.19	649146.68	602082.26	1.08
φMn=	6057800.43	5457780.00	1.11	8636240.28	7959262.50	1.09	5975228.81	5457780.00	1.09	8532952.47	7959262.50	1.07
Pe	7418701.89	5852335.00	1.27	7418701.89	5852335.00	1.27	7241788.14	5852335.00	1.24	7241788.14	5852335.00	1.24
A	332.28	201.00	1.65	332.28	201.00	1.65	317.45	201.00	1.58	317.45	201.00	1.58
I	48873.54	37670.75	1.30	48873.54	37670.75	1.30	47608.23	37670.75	1.26	47608.23	37670.75	1.26
leff	47753.26	37670.75	1.27	47753.26	37670.75	1.27	46614.49	37670.75	1.24	46614.49	37670.75	1.24
35x2 (ST37)			35x2 (ST52)			35x2 (ST37)			35x2 (ST52)			
	Composite	Steel	Ratio	Composite	Steel	Ratio	Composite	Steel	Ratio	Composite	Steel	Ratio
φPn=	632170.71	550354.43	1.15	829634.62	789648.78	1.05	597873.06	550354.43	1.09	795941.89	789648.78	1.01
φMn=	7670742.14	7065360.00	1.09	10970120.43	10303650.00	1.06	7579664.43	7065360.00	1.07	10861385.01	10303650.00	1.05
Pe	8850886.33	7471327.09	1.18	8850886.33	7471327.09	1.18	8695071.63	7471327.09	1.16	8695071.63	7471327.09	1.16
A	387.21	264.00	1.47	387.21	264.00	1.47	373.29	264.00	1.41	373.29	264.00	1.41
I	57958.72	48092.00	1.21	57958.72	48092.00	1.21	56844.32	48092.00	1.18	56844.32	48092.00	1.18
leff	56972.05	48092.00	1.18	56972.05	48092.00	1.18	55969.09	48092.00	1.16	55969.09	48092.00	1.16

	35x2.5 (ST37)			35x2.5 (ST52)			35x2.5 (ST37)			35x2.5 (ST52)		
	Composite	Steel	Ratio									
φPn=	726257.14	676829.68	1.07	969060.38	970662.11	1.00	694172.40	676829.68	1.03	937598.95	970662.11	0.97
φMn=	9159845.97	8572500.00	1.07	13137194.09	12501562.50	1.05	9066245.02	8572500.00	1.06	13028988.33	12501562.50	1.04
Pe	10150978.37	8940997.24	1.14	10150978.37	8940997.24	1.14	10014316.71	8940997.24	1.12	10014316.71	8940997.24	1.12
A	440.39	325.00	1.36	440.39	325.00	1.36	427.35	325.00	1.31	427.35	325.00	1.31
I	66205.97	57552.08	1.15	66205.97	57552.08	1.15	65228.55	57552.08	1.13	65228.55	57552.08	1.13
leff	65340.58	57552.08	1.14	65340.58	57552.08	1.14	64460.91	57552.08	1.12	64460.91	57552.08	1.12
	35x3 (ST37)			35x3 (ST52)			35x3 (ST37)			35x3 (ST52)		
	Composite	Steel	Ratio									
φPn=	817014.85	798866.85	1.02	1103434.25	1145131.93	0.96	787077.38	798866.85	0.99	1074127.46	1145131.93	0.94
φMn=	10539152.03	9982440.00	1.06	15152637.37	14557725.00	1.04	10446783.63	9982440.00	1.05	15048345.19	14557725.00	1.03
Pe	11327361.20	10270822.10	1.10	11327361.20	10270822.10	1.10	11208030.09	10270822.10	1.09	11208030.09	10270822.10	1.09
A	491.82	384.00	1.28	491.82	384.00	1.28	479.64	384.00	1.25	479.64	384.00	1.25
I	73668.46	66112.00	1.11	73668.46	66112.00	1.11	72814.99	66112.00	1.10	72814.99	66112.00	1.10
leff	72912.81	66112.00	1.10	72912.81	66112.00	1.10	72144.69	66112.00	1.09	72144.69	66112.00	1.09

	40x1.2 (ST37)			40x1.2 (ST52)			40x1.2 (ST37)			40x1.2 (ST52)		
	Composite	Steel	Ratio									
$\phi P_n =$	585545.25	392053.60	1.49	727852.27	565037.80	1.29	534341.01	392053.60	1.36	677196.35	565037.80	1.20
$\phi M_n =$	6687281.96	5855016.96	1.14	9509431.85	8538566.40	1.11	6587360.20	5855016.96	1.13	9376123.53	8538566.40	1.10
P _e	10029260.30	7266500.25	1.38	10029260.30	7266500.25	1.38	9717219.59	7266500.25	1.34	9717219.59	7266500.25	1.34
A	367.49	186.24	1.97	367.49	186.24	1.97	347.02	186.24	1.86	347.02	186.24	1.86
I	68127.47	46773.56	1.46	68127.47	46773.56	1.46	65715.65	46773.56	1.40	65715.65	46773.56	1.40
I _{eff}	64557.10	46773.56	1.38	64557.10	46773.56	1.38	62548.53	46773.56	1.34	62548.53	46773.56	1.34
	40x1.5 (ST37)			40x1.5 (ST52)			40x1.5 (ST37)			40x1.5 (ST52)		
	Composite	Steel	Ratio									
$\phi P_n =$	655967.29	486089.12	1.35	832810.55	700439.61	1.19	606296.50	486089.12	1.25	783702.20	700439.61	1.12
$\phi M_n =$	8085280.33	7207380.00	1.12	11513399.82	10510762.50	1.10	7970082.91	7207380.00	1.11	11365891.17	10510762.50	1.08
P _e	11643670.13	8879036.53	1.31	11643670.13	8879036.53	1.31	11331417.81	8879036.53	1.28	11331417.81	8879036.53	1.28
A	406.51	231.00	1.76	406.51	231.00	1.76	386.69	231.00	1.67	386.69	231.00	1.67
I	77176.43	57153.25	1.35	77176.43	57153.25	1.35	74914.91	57153.25	1.31	74914.91	57153.25	1.31
I _{eff}	74948.85	57153.25	1.31	74948.85	57153.25	1.31	72938.92	57153.25	1.28	72938.92	57153.25	1.28
	40x2 (ST37)			40x2 (ST52)			40x2 (ST37)			40x2 (ST52)		
	Composite	Steel	Ratio									
$\phi P_n =$	770093.76	639280.43	1.20	1002873.87	920905.52	1.09	723066.17	639280.43	1.13	956445.93	920905.52	1.04
$\phi M_n =$	10271261.23	9365760.00	1.10	14666372.89	13658400.00	1.07	10140266.47	9365760.00	1.08	14506666.91	13658400.00	1.06
P _e	13906679.75	11397662.86	1.22	13906679.75	11397662.86	1.22	13623298.13	11397662.86	1.20	13623298.13	11397662.86	1.20
A	470.15	304.00	1.55	470.15	304.00	1.55	451.39	304.00	1.48	451.39	304.00	1.48
I	91310.03	73365.33	1.24	91310.03	73365.33	1.24	89283.26	73365.33	1.22	89283.26	73365.33	1.22
I _{eff}	89515.56	73365.33	1.22	89515.56	73365.33	1.22	87691.47	73365.33	1.20	87691.47	73365.33	1.20

	40x2.5 (ST37)			40x2.5 (ST52)			40x2.5 (ST37)			40x2.5 (ST52)		
	Composite	Steel	Ratio									
φPn=	880819.85	788055.22	1.12	1167806.68	1134870.43	1.03	836393.59	788055.22	1.06	1124004.29	1134870.43	0.99
φMn=	12304066.06	11407500.00	1.08	17615998.51	16635937.50	1.06	12165867.05	11407500.00	1.07	17453197.67	16635937.50	1.05
P_e	15956562.80	13714923.36	1.16	15956562.80	13714923.36	1.16	15703380.20	13714923.36	1.14	15703380.20	13714923.36	1.14
A	532.05	375.00	1.42	532.05	375.00	1.42	514.31	375.00	1.37	514.31	375.00	1.37
I	104313.64	88281.25	1.18	104313.64	88281.25	1.18	102502.86	88281.25	1.16	102502.86	88281.25	1.16
I_{eff}	102710.40	88281.25	1.16	102710.40	88281.25	1.16	101080.70	88281.25	1.14	101080.70	88281.25	1.14
	40x3 (ST37)			40x3 (ST52)			40x3 (ST37)			40x3 (ST52)		
	Composite	Steel	Ratio									
φPn=	988232.00	932415.98	1.06	1327721.53	1342339.79	0.99	946342.82	932415.98	1.01	1286469.19	1342339.79	0.96
φMn=	14202479.04	13335840.00	1.06	20382704.44	19448100.00	1.05	14062792.42	13335840.00	1.05	20222277.00	19448100.00	1.04
P_e	17838072.14	15841848.24	1.13	17838072.14	15841848.24	1.13	17612608.07	15841848.24	1.11	17612608.07	15841848.24	1.11
A	592.21	444.00	1.33	592.21	444.00	1.33	575.47	444.00	1.30	575.47	444.00	1.30
I	116249.16	101972.00	1.14	116249.16	101972.00	1.14	114636.62	101972.00	1.12	114636.62	101972.00	1.12
I_{eff}	114821.44	101972.00	1.13	114821.44	101972.00	1.13	113370.16	101972.00	1.11	113370.16	101972.00	1.11

	45x1.2 (ST37)			45x1.2 (ST52)			45x1.2 (ST37)			45x1.2 (ST52)		
	Composite	Steel	Ratio	Composite	Steel	Ratio	Composite	Steel	Ratio	Composite	Steel	Ratio
$\phi P_n =$	706012.02	445033.93	1.59	869122.30	643024.62	1.35	639581.43	445033.93	1.44	803235.20	643024.62	1.25
$\phi M_n =$	8602207.79	7460760.96	1.15	12227164.47	10880276.40	1.12	8472082.03	7460760.96	1.14	12049625.32	10880276.40	1.11
P _e	14865912.46	10451126.23	1.42	14865912.46	10451126.23	1.42	14367283.18	10451126.23	1.37	14367283.18	10451126.23	1.37
A	442.90	210.24	2.11	442.90	210.24	2.11	416.62	210.24	1.98	416.62	210.24	1.98
I	102458.16	67272.60	1.52	102458.16	67272.60	1.52	98484.12	67272.60	1.46	98484.12	67272.60	1.46
I _{eff}	95690.02	67272.60	1.42	95690.02	67272.60	1.42	92480.41	67272.60	1.37	92480.41	67272.60	1.37
45x1.5 (ST37)			45x1.5 (ST52)			45x1.5 (ST37)			45x1.5 (ST52)			
	Composite	Steel	Ratio	Composite	Steel	Ratio	Composite	Steel	Ratio	Composite	Steel	Ratio
$\phi P_n =$	786340.06	552332.64	1.42	989187.97	797960.34	1.24	721667.00	552332.64	1.31	925077.57	797960.34	1.16
$\phi M_n =$	10418847.10	9199980.00	1.13	14824186.84	13416637.50	1.10	10266011.10	9199980.00	1.12	14624250.85	13416637.50	1.09
P _e	17233109.37	12802912.51	1.35	17233109.37	12802912.51	1.35	16732739.54	12802912.51	1.31	16732739.54	12802912.51	1.31
A	487.15	261.00	1.87	487.15	261.00	1.87	461.61	261.00	1.77	461.61	261.00	1.77
I	115655.52	82410.75	1.40	115655.52	82410.75	1.40	111900.68	82410.75	1.36	111900.68	82410.75	1.36
I _{eff}	110927.37	82410.75	1.35	110927.37	82410.75	1.35	107706.56	82410.75	1.31	107706.56	82410.75	1.31
45x2 (ST37)			45x2 (ST52)			45x2 (ST37)			45x2 (ST52)			
	Composite	Steel	Ratio	Composite	Steel	Ratio	Composite	Steel	Ratio	Composite	Steel	Ratio
$\phi P_n =$	917163.51	727644.86	1.26	1184777.03	1051014.65	1.13	855478.63	727644.86	1.18	1123682.56	1051014.65	1.07
$\phi M_n =$	13270270.83	11990160.00	1.11	18925275.36	17485650.00	1.08	13091935.85	11990160.00	1.09	18703575.27	17485650.00	1.07
P _e	20725828.48	16504695.75	1.26	20725828.48	16504695.75	1.26	20249071.45	16504695.75	1.23	20249071.45	16504695.75	1.23
A	559.51	344.00	1.63	559.51	344.00	1.63	535.17	344.00	1.56	535.17	344.00	1.56
I	136428.56	106238.67	1.28	136428.56	106238.67	1.28	133018.75	106238.67	1.25	133018.75	106238.67	1.25
I _{eff}	133409.57	106238.67	1.26	133409.57	106238.67	1.26	130340.75	106238.67	1.23	130340.75	106238.67	1.23

	45x2.5 (ST37)			45x2.5 (ST52)			45x2.5 (ST37)			45x2.5 (ST52)		
	Composite	Steel	Ratio									
$\phi P_n =$	1044405.14	898559.37	1.16	1374957.99	1297606.34	1.06	985708.19	898559.37	1.10	1316880.24	1297606.34	1.01
$\phi M_n =$	15935921.05	14647500.00	1.09	22782618.92	21360937.50	1.07	15743619.40	14647500.00	1.07	22552040.37	21360937.50	1.06
P _e	23769439.45	19945301.53	1.19	23769439.45	19945301.53	1.19	23337521.11	19945301.53	1.17	23337521.11	19945301.53	1.17
A	630.13	425.00	1.48	630.13	425.00	1.48	606.96	425.00	1.43	606.96	425.00	1.43
I	155735.97	128385.42	1.21	155735.97	128385.42	1.21	152646.85	128385.42	1.19	152646.85	128385.42	1.19
I _{eff}	153000.92	128385.42	1.19	153000.92	128385.42	1.19	150220.71	128385.42	1.17	150220.71	128385.42	1.17
	45x3 (ST37)			45x3 (ST52)			45x3 (ST37)			45x3 (ST52)		
	Composite	Steel	Ratio									
$\phi P_n =$	1168343.89	1065077.68	1.10	1560147.03	1537738.70	1.01	1112571.61	1065077.68	1.04	1505011.32	1537738.70	0.98
$\phi M_n =$	18440160.84	17175240.00	1.07	26423141.45	25047225.00	1.05	18241936.22	17175240.00	1.06	26191783.89	25047225.00	1.05
P _e	26593140.73	23137313.60	1.15	26593140.73	23137313.60	1.15	26202821.36	23137313.60	1.13	26202821.36	23137313.60	1.13
A	699.00	504.00	1.39	699.00	504.00	1.39	676.98	504.00	1.34	676.98	504.00	1.34
I	173648.36	148932.00	1.17	173648.36	148932.00	1.17	170856.77	148932.00	1.15	170856.77	148932.00	1.15
I _{eff}	171176.73	148932.00	1.15	171176.73	148932.00	1.15	168664.29	148932.00	1.13	168664.29	148932.00	1.13

	50x1.2 (ST37)			50x1.2 (ST52)			50x1.2 (ST37)			50x1.2 (ST52)		
	Composit	Steel	Ratio									
φPn=	835897.69	497787.55	1.68	1019627.71	720543.25	1.42	752316.98	497787.55	1.51	936582.99	720543.25	1.30
φMn=	10767470.44	9260904.96	1.16	15301684.90	13505486.40	1.13	10603972.49	9260904.96	1.15	15074029.83	13505486.40	1.12
Pe	21161484.24	14452297.48	1.46	21161484.24	14452297.48	1.46	20403713.26	14452297.48	1.41	20403713.26	14452297.48	1.41
A	524.72	234.24	2.24	524.72	234.24	2.24	491.91	234.24	2.10	491.91	234.24	2.10
I	147874.77	93027.64	1.59	147874.77	93027.64	1.59	141680.05	93027.64	1.52	141680.05	93027.64	1.52
leff	136213.83	93027.64	1.46	136213.83	93027.64	1.46	131336.16	93027.64	1.41	131336.16	93027.64	1.41
	50x1.5 (ST37)			50x1.5 (ST52)			50x1.5 (ST37)			50x1.5 (ST52)		
	Composit	Steel	Ratio									
φPn=	926081.36	618287.88	1.50	1154698.55	894885.96	1.29	844482.84	618287.88	1.37	1073659.43	894885.96	1.20
φMn=	13061097.58	11435580.00	1.14	18573109.07	16676887.50	1.11	12865937.89	11435580.00	1.13	18312741.26	16676887.50	1.10
Pe	24485498.79	17740479.12	1.38	24485498.79	17740479.12	1.38	23723680.64	17740479.12	1.34	23723680.64	17740479.12	1.34
A	574.21	291.00	1.97	574.21	291.00	1.97	542.22	291.00	1.86	542.22	291.00	1.86
I	166326.84	114193.25	1.46	166326.84	114193.25	1.46	160438.59	114193.25	1.40	160438.59	114193.25	1.40
leff	157610.10	114193.25	1.38	157610.10	114193.25	1.38	152706.37	114193.25	1.34	152706.37	114193.25	1.34
	50x2 (ST37)			50x2 (ST52)			50x2 (ST37)			50x2 (ST52)		
	Composit	Steel	Ratio									
φPn=	1073501.90	815614.23	1.32	1375600.66	1180308.89	1.17	995236.79	815614.23	1.22	1297914.62	1180308.89	1.10
φMn=	16671914.96	14938560.00	1.12	23753311.96	21785400.00	1.09	16439054.51	14938560.00	1.10	23458525.23	21785400.00	1.08
Pe	29636221.77	22947780.64	1.29	29636221.77	22947780.64	1.29	28880793.90	22947780.64	1.26	28880793.90	22947780.64	1.26
A	655.28	384.00	1.71	655.28	384.00	1.71	624.64	384.00	1.63	624.64	384.00	1.63
I	195548.29	147712.00	1.32	195548.29	147712.00	1.32	190145.41	147712.00	1.29	190145.41	147712.00	1.29
leff	190764.66	147712.00	1.29	190764.66	147712.00	1.29	185902.07	147712.00	1.26	185902.07	147712.00	1.26

	50x2.5 (ST37)			50x2.5 (ST52)			50x2.5 (ST37)			50x2.5 (ST52)		
	Composite	Steel	Ratio									
$\phi P_n =$	1217171.85	1008556.81	1.21	1590846.03	1459297.92	1.09	1142280.10	1008556.81	1.13	1516565.81	1459297.92	1.04
$\phi M_n =$	20061057.08	18292500.00	1.10	28645259.55	26676562.50	1.07	19805207.96	18292500.00	1.08	28333333.80	26676562.50	1.06
P _e	33951854.85	27826325.33	1.22	33951854.85	27826325.33	1.22	33260005.19	27826325.33	1.20	33260005.19	27826325.33	1.20
A	734.62	475.00	1.55	734.62	475.00	1.55	705.29	475.00	1.48	705.29	475.00	1.48
I	222924.88	179114.58	1.24	222924.88	179114.58	1.24	217976.72	179114.58	1.22	217976.72	179114.58	1.22
I _{eff}	218543.85	179114.58	1.22	218543.85	179114.58	1.22	214090.50	179114.58	1.20	214090.50	179114.58	1.20
	50x3 (ST37)			50x3 (ST52)			50x3 (ST37)			50x3 (ST52)		
	Composite	Steel	Ratio									
$\phi P_n =$	1357547.25	1197116.59	1.13	1801119.47	1731855.16	1.04	1285966.35	1197116.59	1.07	1730171.03	1731855.16	1.00
$\phi M_n =$	23259236.22	21500640.00	1.08	33283624.46	31355100.00	1.06	22991089.40	21500640.00	1.07	32965835.59	31355100.00	1.05
P _e	37989170.83	32390250.49	1.17	37989170.83	32390250.49	1.17	37356799.19	32390250.49	1.15	37356799.19	32390250.49	1.15
A	812.21	564.00	1.44	812.21	564.00	1.44	784.17	564.00	1.39	784.17	564.00	1.39
I	248535.95	208492.00	1.19	248535.95	208492.00	1.19	244013.17	208492.00	1.17	244013.17	208492.00	1.17
I _{eff}	244531.55	208492.00	1.17	244531.55	208492.00	1.17	240461.05	208492.00	1.15	240461.05	208492.00	1.15

f'c=	240	kg/cm2	
Fy=	2400	kg/cm2	
Es	2040000	kg/cm2	
Ec	232000	kg/cm2	

f'c=	240	kg/cm2	
Fy=	3500	kg/cm2	
Es	2040000	kg/cm2	
Ec	232000	kg/cm2	

30x1.2 (ST37)			
	Composit	Steel	Ratio
φPn=	346008.6348	284976.5916	1.21416511
φMn=	3550835.774	3226728.96	1.100444387
Pe	3742950.889	2974032.371	1.258544099
A	224.8715294	138.24	1.626674837
I	24642.84469	19143.4752	1.287271221
leff	24092.90774	19143.4752	1.258544099

30x1.2 (ST52)			
	Composit	Steel	Ratio
φPn=	446354.8966	406791.4114	1.097257425
φMn=	5067041.45	4705646.4	1.076800299
Pe	3742950.889	2974032.371	1.258544099
A	224.8715294	138.24	1.626674837
I	24642.84469	19143.4752	1.287271221
leff	24092.90774	19143.4752	1.258544099

30x1.5 (ST37)			
	Composit	Steel	Ratio
φPn=	397178.02	352179.25	1.127772331
φMn=	4277924.92	3951180.00	1.082695529
Pe	4310496.67	3606291.76	1.195271197
A	253.91	171	1.484829721
I	28249.78	23213.25	1.216967997
leff	27746	23213.25	1.195271197

30x1.5 (ST52)			
	Composit	Steel	Ratio
φPn=	521191.4078	502503.9068	1.037188768
φMn=	6120000.102	5762137.5	1.062105877
Pe	4310496.673	3606291.763	1.195271197
A	253.9058824	171	1.484829721
I	28249.78235	23213.25	1.216967997
leff	27746.12912	23213.25	1.195271197

30x2 (ST37)			
	Composit	Steel	Ratio
φPn=	479695.6596	460595.8418	1.04146763
φMn=	5405018.139	5088960	1.062106627
Pe	5175865.948	4570333.55	1.132491949
A	300.8784314	224	1.343207283
I	33749.48497	29418.66667	1.147213276
leff	33316.40314	29418.66667	1.132491949

30x2 (ST52)			
	Composit	Steel	Ratio
φPn=	641756.247	656714.8603	0.977222058
φMn=	7760528.561	7421400	1.045696036
Pe	5175865.948	4570333.55	1.132491949
A	300.8784314	224	1.343207283
I	33749.48497	29418.66667	1.147213276
leff	33316.40314	29418.66667	1.132491949

30x2.5 (ST37)			
	Composit	Steel	Ratio
$\phi P_n =$	558780.3351	564533.3802	0.989809203
$\phi M_n =$	6438247.423	6142500	1.048147729
P _e	5946941.174	5429329.543	1.095336197
A	346.0784314	275	1.258467023
I	38649.9183	34947.91667	1.105929108
I _{eff}	38279.71814	34947.91667	1.095336197

30x2.5 (ST52)			
	Composit	Steel	Ratio
$\phi P_n =$	757130.6703	804301.207	0.94135215
$\phi M_n =$	9270799.564	8957812.5	1.034940122
P _e	5946941.174	5429329.543	1.095336197
A	346.0784314	275	1.258467023
I	38649.9183	34947.91667	1.105929108
I _{eff}	38279.71814	34947.91667	1.095336197

30x3 (ST37)			
	Composit	Steel	Ratio
$\phi P_n =$	634449.2158	664000.4539	0.955495154
$\phi M_n =$	7386203.077	7115040	1.038111251
P _e	6630834.499	6191202.841	1.071009087
A	389.5058824	324	1.202178649
I	42996.28235	39852	1.078898985
I _{eff}	42681.85412	39852	1.071009087

30x3 (ST52)			
	Composit	Steel	Ratio
$\phi P_n =$	867332.1649	945281.7045	0.917538297
$\phi M_n =$	10660238.38	10376100	1.027383929
P _e	6630834.499	6191202.841	1.071009087
A	389.5058824	324	1.202178649
I	42996.28235	39852	1.078898985
I _{eff}	42681.85412	39852	1.071009087

f'c=	240	kg/cm2	
Fy=	2400	kg/cm2	
Es	2040000	kg/cm2	
Ec	232000	kg/cm2	

f'c=	240	kg/cm2	
Fy=	3500	kg/cm2	
Es	2040000	kg/cm2	
Ec	232000	kg/cm2	

35x1.2 (ST37)			
	Composit	Steel	Ratio
φPn=	436529.53	338752.22	1.288639598
φMn=	4947780.83	4443672.96	1.113443964
Pe	6243437.31	4805206.60	1.299306737
A	283.10	162.24	1.744963646
I	41634.54	30930.5152	1.346066705
leff	40188	30930.5152	1.299306737

35x1.2 (ST52)			
	Composit	Steel	Ratio
φPn=	558327.4198	486393.6706	1.147892034
φMn=	7049988.581	6480356.4	1.087901366
Pe	6243437.311	4805206.604	1.299306737
A	283.102902	162.24	1.744963646
I	41634.53667	30930.5152	1.346066705
leff	40188.22677	30930.5152	1.299306737

35x1.5 (ST37)			
	Composit	Steel	Ratio
φPn=	498165.0773	419436.6892	1.18770029
φMn=	5975228.807	5457780	1.094809393
Pe	7241788.143	5852335	1.237418593
A	317.454902	201	1.579377622
I	47608.23497	37670.75	1.263798437
leff	46614.48647	37670.75	1.237418593

35x1.5 (ST52)			
	Composit	Steel	Ratio
φPn=	649146.677	602082.2602	1.078169413
φMn=	8532952.474	7959262.5	1.072078283
Pe	7241788.143	5852335	1.237418593
A	317.454902	201	1.579377622
I	47608.23497	37670.75	1.263798437
leff	46614.48647	37670.75	1.237418593

35x2 (ST37)			
	Composit	Steel	Ratio
φPn=	597873.0612	550354.4322	1.086341867
φMn=	7579664.429	7065360	1.072792388
Pe	8695071.627	7471327.086	1.163792125
A	373.2901961	264	1.413978015
I	56844.3232	48092	1.18199125
leff	55969.09088	48092	1.163792125

35x2 (ST52)			
	Composit	Steel	Ratio
φPn=	795941.8852	789648.776	1.007969504
φMn=	10861385.01	10303650	1.054129848
Pe	8695071.627	7471327.086	1.163792125
A	373.2901961	264	1.413978015
I	56844.3232	48092	1.18199125
leff	55969.09088	48092	1.163792125

35x2.5 (ST37)

	Composit	Steel	Ratio
φPn=	694172.4007	676829.6805	1.025623463
φMn=	9066245.02	8572500	1.057596386
Pe	10014316.71	8940997.235	1.120044717
A	427.3529412	325	1.314932127
I	65228.55392	57552.08333	1.133383018
leff	64460.90686	57552.08333	1.120044717

35x2.5 (ST52)

	Composit	Steel	Ratio
φPn=	937598.95	970662.11	0.965937513
φMn=	13028988.33	12501562.50	1.042188793
Pe	10014316.71	8940997.24	1.120044717
A	427.35	325	1.314932127
I	65228.55	57552.08333	1.133383018
leff	64461	57552.08333	1.120044717

35x3 (ST37)

	Composit	Steel	Ratio
φPn=	787077.3757	798866.8507	0.985242253
φMn=	10446783.63	9982440	1.046516045
Pe	11208030.09	10270822.1	1.09124956
A	479.6431373	384	1.24907067
I	72814.98987	66112	1.1013884
leff	72144.69088	66112	1.09124956

35x3 (ST52)

	Composit	Steel	Ratio
φPn=	1074127.46	1145131.925	0.937994511
φMn=	15048345.19	14557725	1.033701708
Pe	11208030.09	10270822.1	1.09124956
A	479.6431373	384	1.24907067
I	72814.98987	66112	1.1013884
leff	72144.69088	66112	1.09124956

f'c=	240	kg/cm2	
Fy=	2400	kg/cm2	
Es	2040000	kg/cm2	
Ec	232000	kg/cm2	

f'c=	240	kg/cm2	
Fy=	3500	kg/cm2	
Es	2040000	kg/cm2	
Ec	232000	kg/cm2	

40x1.2 (ST37)			
	Composit	Steel	Ratio
φPn=	534341.01	392053.60	1.362928462
φMn=	6587360.20	5855016.96	1.12507961
Pe	9717219.59	7266500.25	1.33726268
A	347.02	186.24	1.863297621
I	65715.65	46773.5552	1.404974399
leff	62549	46773.5552	1.33726268

40x1.2 (ST52)			
	Composit	Steel	Ratio
φPn=	677196.3518	565037.8044	1.198497422
φMn=	9376123.526	8538566.4	1.098091071
Pe	9717219.591	7266500.247	1.33726268
A	347.020549	186.24	1.863297621
I	65715.64762	46773.5552	1.404974399
leff	62548.52976	46773.5552	1.33726268

40x1.5 (ST37)			
	Composit	Steel	Ratio
φPn=	606296.5027	486089.1194	1.247294947
φMn=	7970082.909	7207380	1.105822491
Pe	11331417.81	8879036.529	1.276199031
A	386.6901961	231	1.673983533
I	74914.90654	57153.25	1.310772468
leff	72938.92225	57153.25	1.276199031

40x1.5 (ST52)			
	Composit	Steel	Ratio
φPn=	783702.1987	700439.6087	1.118871904
φMn=	11365891.17	10510762.5	1.081357435
Pe	11331417.81	8879036.529	1.276199031
A	386.6901961	231	1.673983533
I	74914.90654	57153.25	1.310772468
leff	72938.92225	57153.25	1.276199031

40x2 (ST37)			
	Composit	Steel	Ratio
φPn=	723066.1695	639280.4251	1.131062584
φMn=	10140266.47	9365760	1.082695529
Pe	13623298.13	11397662.86	1.195271197
A	451.3882353	304	1.484829721
I	89283.26275	73365.33333	1.216967997
leff	87691.4698	73365.33333	1.195271197

40x2 (ST52)			
	Composit	Steel	Ratio
φPn=	956445.9309	920905.5181	1.038592898
φMn=	14506666.91	13658400	1.062105877
Pe	13623298.13	11397662.86	1.195271197
A	451.3882353	304	1.484829721
I	89283.26275	73365.33333	1.216967997
leff	87691.4698	73365.33333	1.195271197

40x2.5 (ST37)			
	Composit	Steel	Ratio
$\phi P_n =$	836393.5925	788055.2157	1.06133882
$\phi M_n =$	12165867.05	11407500	1.066479689
P _e	15703380.2	13714923.36	1.144984904
A	514.3137255	375	1.371503268
I	102502.8595	88281.25	1.161094337
I _{eff}	101080.6985	88281.25	1.144984904

40x3 (ST37)			
	Composit	Steel	Ratio
$\phi P_n =$	946342.8236	932415.9802	1.014936299
$\phi M_n =$	14062792.42	13335840	1.054511184
P _e	17612608.07	15841848.24	1.111777351
A	575.4666667	444	1.296096096
I	114636.6222	101972	1.124197056
I _{eff}	113370.16	101972	1.111777351

40x2.5 (ST52)			
	Composit	Steel	Ratio
$\phi P_n =$	1124004.292	1134870.43	0.990425217
$\phi M_n =$	17453197.67	16635937.5	1.049126187
P _e	15703380.2	13714923.36	1.144984904
A	514.3137255	375	1.371503268
I	102502.8595	88281.25	1.161094337
I _{eff}	101080.6985	88281.25	1.144984904

40x3 (ST52)			
	Composit	Steel	Ratio
$\phi P_n =$	1286469.186	1342339.787	0.958378198
$\phi M_n =$	20222277	19448100	1.039807333
P _e	17612608.07	15841848.24	1.111777351
A	575.4666667	444	1.296096096
I	114636.6222	101972	1.124197056
I _{eff}	113370.16	101972	1.111777351

f'c=	240	kg/cm2	
Fy=	2400	kg/cm2	
Es	2040000	kg/cm2	
Ec	232000	kg/cm2	

f'c=	240	kg/cm2	
Fy=	3500	kg/cm2	
Es	2040000	kg/cm2	
Ec	232000	kg/cm2	

45x1.2 (ST37)			
	Composit	Steel	Ratio
φPn=	639581.43	445033.93	1.437152065
φMn=	8472082.03	7460760.96	1.135552001
Pe	14367283.18	10451126.23	1.374711478
A	416.62	210.24	1.981661295
I	98484.12	67272.5952	1.46395599
leff	92480	67272.5952	1.374711478

45x1.2 (ST52)			
	Composit	Steel	Ratio
φPn=	803235.2008	643024.619	1.249151552
φMn=	12049625.32	10880276.4	1.107474192
Pe	14367283.18	10451126.23	1.374711478
A	416.6244706	210.24	1.981661295
I	98484.11869	67272.5952	1.46395599
leff	92480.40875	67272.5952	1.374711478

45x1.5 (ST37)			
	Composit	Steel	Ratio
φPn=	721667.0025	552332.6441	1.306580392
φMn=	10266011.1	9199980	1.115873197
Pe	16732739.54	12802912.51	1.306947894
A	461.6117647	261	1.768627451
I	111900.6794	82410.75	1.357840809
leff	107706.5561	82410.75	1.306947894

45x1.5 (ST52)			
	Composit	Steel	Ratio
φPn=	925077.57	797960.34	1.159302699
φMn=	14624250.85	13416637.50	1.090008644
Pe	16732739.54	12802912.51	1.306947894
A	461.61	261	1.768627451
I	111900.68	82410.75	1.357840809
leff	107707	82410.75	1.306947894

45x2 (ST37)			
	Composit	Steel	Ratio
φPn=	855478.6284	727644.8604	1.175681538
φMn=	13091935.85	11990160	1.091890004
Pe	20249071.45	16504695.75	1.226867297
A	535.172549	344	1.555734154
I	133018.7546	106238.6667	1.252074774
leff	130340.7458	106238.6667	1.226867297

45x2 (ST52)			
	Composit	Steel	Ratio
φPn=	1123682.564	1051014.648	1.069140727
φMn=	18703575.27	17485650	1.069652845
Pe	20249071.45	16504695.75	1.226867297
A	535.172549	344	1.555734154
I	133018.7546	106238.6667	1.252074774
leff	130340.7458	106238.6667	1.226867297

45x2.5 (ST37)			
	Composit	Steel	Ratio
$\phi P_n =$	985708.186	898559.3719	1.096987263
$\phi M_n =$	15743619.4	14647500	1.074833207
P _e	23337521.11	19945301.53	1.170076125
A	606.9607843	425	1.428143022
I	152646.8546	128385.4167	1.188973472
I _{eff}	150220.7108	128385.4167	1.170076125

45x2.5 (ST52)			
	Composit	Steel	Ratio
$\phi P_n =$	1316880.238	1297606.339	1.014853425
$\phi M_n =$	22552040.37	21360937.5	1.055760796
P _e	23337521.11	19945301.53	1.170076125
A	606.9607843	425	1.428143022
I	152646.8546	128385.4167	1.188973472
I _{eff}	150220.7108	128385.4167	1.170076125

45x3 (ST37)			
	Composit	Steel	Ratio
$\phi P_n =$	1112571.609	1065077.683	1.044591984
$\phi M_n =$	18241936.22	17175240	1.062106627
P _e	26202821.36	23137313.6	1.132491949
A	676.9764706	504	1.343207283
I	170856.7676	148932	1.147213276
I _{eff}	168664.2909	148932	1.132491949

45x3 (ST52)			
	Composit	Steel	Ratio
$\phi P_n =$	1505011.319	1537738.7	0.978717203
$\phi M_n =$	26191783.89	25047225	1.045696036
P _e	26202821.36	23137313.6	1.132491949
A	676.9764706	504	1.343207283
I	170856.7676	148932	1.147213276
I _{eff}	168664.2909	148932	1.132491949

f'c=	240	kg/cm2	
Fy=	2400	kg/cm2	
Es	2040000	kg/cm2	
Ec	232000	kg/cm2	

f'c=	240	kg/cm2	
Fy=	3500	kg/cm2	
Es	2040000	kg/cm2	
Ec	232000	kg/cm2	

50x1.2 (ST37)			
	Composit	Steel	Ratio
φPn=	752316.98	497787.55	1.511321412
φMn=	10603972.49	9260904.96	1.145025517
Pe	20403713.26	14452297.48	1.411797209
A	491.91	234.24	2.100045537
I	141680.05	93027.6352	1.522988815
leff	131336	93027.6352	1.411797209

50x1.2 (ST52)			
	Composit	Steel	Ratio
φPn=	936582.9926	720543.2541	1.299828965
φMn=	15074029.83	13505486.4	1.116141203
Pe	20403713.26	14452297.48	1.411797209
A	491.9146667	234.24	2.100045537
I	141680.0479	93027.6352	1.522988815
leff	131336.1558	93027.6352	1.411797209

50x1.5 (ST37)			
	Composit	Steel	Ratio
φPn=	844482.836	618287.8763	1.365840846
φMn=	12865937.89	11435580	1.12507961
Pe	23723680.64	17740479.12	1.33726268
A	542.2196078	291	1.863297621
I	160438.5928	114193.25	1.404974399
leff	152706.3715	114193.25	1.33726268

50x1.5 (ST52)			
	Composit	Steel	Ratio
φPn=	1073659.428	894885.9626	1.199772343
φMn=	18312741.26	16676887.5	1.098091071
Pe	23723680.64	17740479.12	1.33726268
A	542.2196078	291	1.863297621
I	160438.5928	114193.25	1.404974399
leff	152706.3715	114193.25	1.33726268

50x2 (ST37)			
	Composit	Steel	Ratio
φPn=	995236.7949	815614.2252	1.220229815
φMn=	16439054.51	14938560	1.100444387
Pe	28880793.9	22947780.64	1.258544099
A	624.6431373	384	1.626674837
I	190145.4065	147712	1.287271221
leff	185902.0659	147712	1.258544099

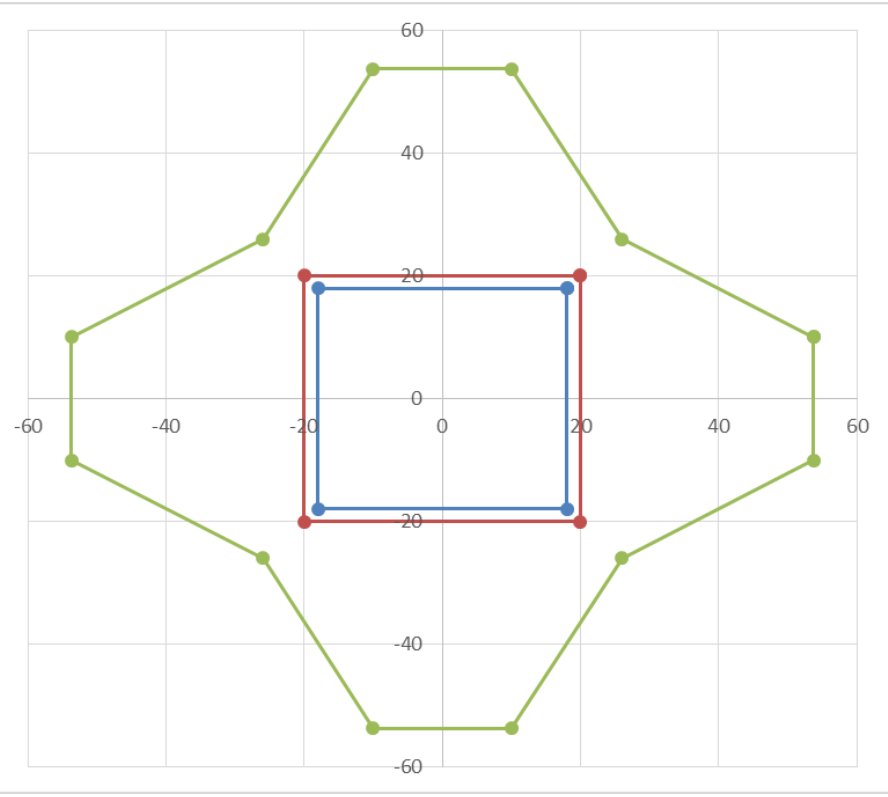
50x2 (ST52)			
	Composit	Steel	Ratio
φPn=	1297914.616	1180308.886	1.09963979
φMn=	23458525.23	21785400	1.076800299
Pe	28880793.9	22947780.64	1.258544099
A	624.6431373	384	1.626674837
I	190145.4065	147712	1.287271221
leff	185902.0659	147712	1.258544099

50x2.5 (ST37)			
	Composit	Steel	Ratio
$\phi P_n =$	1142280.097	1008556.811	1.132588749
$\phi M_n =$	19805207.96	18292500	1.082695529
P _e	33260005.19	27826325.33	1.195271197
A	705.2941176	475	1.484829721
I	217976.7157	179114.5833	1.216967997
I _{eff}	214090.5025	179114.5833	1.195271197

50x2.5 (ST52)			
	Composit	Steel	Ratio
$\phi P_n =$	1516565.811	1459297.921	1.039243453
$\phi M_n =$	28333333.8	26676562.5	1.062105877
P _e	33260005.19	27826325.33	1.195271197
A	705.2941176	475	1.484829721
I	217976.7157	179114.5833	1.216967997
I _{eff}	214090.5025	179114.5833	1.195271197

50x3 (ST37)			
	Composit	Steel	Ratio
$\phi P_n =$	1285966.35	1197116.595	1.074219801
$\phi M_n =$	22991089.4	21500640	1.069321165
P _e	37356799.19	32390250.49	1.15333468
A	784.172549	564	1.39037686
I	244013.1712	208492	1.170371867
I _{eff}	240461.0541	208492	1.15333468

50x3 (ST52)			
	Composit	Steel	Ratio
$\phi P_n =$	1730171.026	1731855.162	0.999027554
$\phi M_n =$	32965835.59	31355100	1.051370769
P _e	37356799.19	32390250.49	1.15333468
A	784.172549	564	1.39037686
I	244013.1712	208492	1.170371867
I _{eff}	240461.0541	208492	1.15333468



$$P_{bf} = 2 \cdot 2 \quad Ton$$

$$\gamma \cdot \leq \frac{b_c}{t_c} \leq \omega \cdot$$

$$\gamma \cdot \leq \theta \leq \omega \cdot$$

$$t_d \geq t_{bf}$$

$$\therefore / 10t_{bf} \leq \frac{h_d}{b_c}$$

$$\therefore / \gamma \omega \leq \frac{t_d}{t_c} \leq \gamma$$

OK

OK

OK

OK

OK

bc	40	cm
tc	2	cm
hd	6	cm
bb	20	cm
teta	30	degree
td	1.5	cm

fdy=	3600	kg/cm ²
fdu=	2400	kg/cm ²
fcy=	2400	kg/cm ²
tbf=	1.5	cm

نتیجه

- هر چه ضخامت ورق ستون بیشتر شود مقاومت فشاری ستون CFT کاهش می یابد.
- هر چه ابعاد ستون قوطی کمتر شود مقاومت فشاری ستون CFT کاهش می یابد.
- هر چه مقاومت فشاری بتن کمتر شود مقاومت فشاری ستون CFT کاهش می یابد.
- هر چه مقاومت فولاد بیشتر شود مقاومت فشاری ستون CFT کاهش می یابد.

5. Stiffness for Calculation of Required Strengths

For the direct analysis method of design, the required strengths of encased composite members and filled composite members shall be determined using the provisions of Section C2 and the following requirements:

- (1) The nominal flexural stiffness of members subject to net compression shall be taken as the effective stiffness of the composite section, EI_{eff} , as defined in Section I2.
- (2) The nominal axial stiffness of members subject to net compression shall be taken as the summation of the elastic axial stiffnesses of each component.
- (3) Stiffness of members subject to net tension shall be taken as the stiffness of the bare steel members in accordance with Chapter C.
- (4) The stiffness reduction parameter, τ_b , shall be taken as 0.8.

User Note: Taken together, the stiffness reduction factors require the use of $0.64EI_{eff}$ for the flexural stiffness and 0.8 times the nominal axial stiffness of encased composite members and filled composite members subject to net compression in the analysis.

Stiffness values appropriate for the calculation of deflections and for use with the effective length method are discussed in the Commentary.

بَا تَشْكِرْ

